



University of
Sistan and Baluchestan

Geography and Development

Print ISSN: 1735 - 0735 Online ISSN: 2676-7791

Homepage: <https://gdij.usb.ac.ir>



Flood Risk Zoning in Torbat-e Heydariyah Using Fuzzy Logic

Sanaz Saeedi Mofrad¹✉, Mehdi Asiaei², Fatemeh Goharkhah³

1. Assistant Professor of Urbanism, Islamic Azad University, Mashhad, Mashhad, Iran

✉ E-mail: Saeedi.s@mshdiau.ac.ir

2. Ph.D Student of Geography and Urban Planning, University of Tehran, Iran

E-mail: Asiaei.mehdi@ut.ac.ir

3. Ph.D Student of Geography and Urban Planning, University of Tehran, Iran

E-mail: Goharkhah@ut.ac.ir



How to Cite: Saeedi Mofrad, S; Asiaei, M; & Goharkhah, F. (2022). Flood Risk Zoning in Torbat-e Heydariyah Using Fuzzy Logic. *Geography and Development*, 20 (66), 81-106.

DOI: <http://dx.doi.org/10.22111/J10.22111.2022.6714>

Received:

22 February 2021

Received in revised form:

14 September 2021

Accepted :

20 October 2021

Published online:

15 January 2022

Keywords:

Natural hazards,
Vulnerability,
Hierarchical analysis.

ABSTRACT

Awareness of the occurrence of natural hazards is very important for urban planning and development. One of the most important natural hazards is floods, which will cause damage if they occur. One of the ways to deal with flood zoning is flood potential. The present study was conducted with the aim of zoning the risk of floods in Torbat Heydariyeh city with emphasis on urban and rural areas in 2020. This research is an applied type in which fuzzy logic, AHP hierarchical analysis and GIS are used. In this study, eight criteria of slope, distance from the river, altitude, geology, land use, rainfall, drainage density and vegetation have been studied. To flood risk zoning, first the selected layers are rasterized in GIS Arc environment and then using layer membership functions, fuzzy and finally fuzzy maps of the layers are obtained. Then, with the help of Excel software, the process of pairwise comparison of the criteria with each other is performed and then the final weight of the criteria is combined with fuzzy layers and finally the obtained maps are matched with fuzzy operators and the zoning map is extracted. The results show that the main and effective variables in causing floods in the study area are slope with a weight coefficient of 0.306 and precipitation with a weight coefficient of 0.175. However, vegetation variable with a weight coefficient of 0.040 had the least effect in the study area. Therefore, according to the flood risk classification map, Torbat-e Heydariyah city is in a very high risk area, so it is important to carry out watershed management operations at the city level. It should also be noted that the city of Torbat-e Heydariyah is in a very low risk area and in terms of rural settlements, most of the settlements in this city are in a zone with high and very low risk of vulnerability.



© the Author(s).

Publisher: University of Sistan and Baluchestan

Extended Abstract

1. Introduction

In the first six months of 2020, at least 207 natural disasters were recorded worldwide, according to the Center for Aon Studies. According to international statistics, in 2019, at least 27% of the risks occurred in the field of natural disasters. In the first half of 2020, the damage caused by natural hazards worldwide is estimated at \$ 75 billion. One of the most important natural hazards is floods, which can cause a lot of damage if they occur. Flood is a

sudden event in which several factors are involved, these factors can be summarized in three main groups of climate, regional characteristics and human activities. It should be noted that land use changes, urbanization, unprincipled constructions, old sewage system and development of impermeable lands in urban areas that are due to human activities also have an important impact on the occurrence of this disaster.

One of the most important ways to identify areas prone to this natural hazard is to zoning areas prone

to flooding. Therefore, in one definition, it can be said that flood zoning potential zoning is the determination and description of areas with potential in terms of surface runoff, which is based on the characteristics of the areas. Therefore, one of the ways to manage flood zoning is its potential occurrence. Iran is one of the most vulnerable countries to natural hazards due to its natural characteristics. Therefore, it is important to know the effective factors in natural hazards and the resulting damages. Khorasan Razavi province, as one of the most important provinces of the country, is affected by these dangers every year, which unfortunately leads to many damages. Therefore, paying attention to the vulnerability of the cities of this province, especially the city of Torbat-e Heydarieh, is considered important. Therefore, this present study has been conducted with the aim of zoning the risk of floods in Torbat-e Heydariyeh city with emphasis on urban and rural areas in 2021.

2. Methods and Material

This research is an applied type in which fuzzy logic, AHP hierarchical analysis and GIS are used. In this study, eight criteria of slope, distance from river, altitude, geology, land use, rainfall, drainage density and vegetation have been studied. In this research, to zoning the risk of floods, first the selected layers are rasterized in GIS Arc environment and then using membership functions, fuzzy and finally fuzzy maps of the layers are obtained. With the help of Excel software, the process of pairwise comparison of the criteria with each other is performed and then the final weight of the criteria is combined with fuzzy layers and finally the obtained maps are matched with fuzzy operators and the zoning map is extracted.

3. Results and Discussion

In zoning the risk of floods, first, the effective criteria in the study area should be identified, and the importance of each should be measured and evaluated. Therefore, according to the limitations and past experiences, eight criteria of slope, distance from the river, altitude, geology, land use,

rainfall, drainage density and vegetation have been studied. First, the desired layers are fuzzy in Arc-Gis environment and in the next step, fuzzy membership of the studied criteria is performed and then pairwise comparisons of the criteria and sub-criteria are performed using the opinion of experts. These pairwise comparisons, described by linguistic variables, are expressed by triangular fuzzy numbers that serve as input to the fuzzy hierarchy analysis model. Based on this method, the final weight of criteria and sub-criteria were determined. Accordingly, vegetation criteria with weight of 0.040 have the least impact and slope with weight of 0.361 have the most impact. 0.666 and rainfall with a weight of 0.589 have the greatest impact on the occurrence of floods in the study area.

4. Conclusion

The results show that slope and rainfall parameters are the first priority in flood risk zoning in the study area. Vegetation parameters, distance from the river, land use, altitude are the next priorities. Also, based on the results of combining the layers by fuzzy overlap method and the final weights obtained from the AHP model, a flood risk classification map was extracted in the study area and it was determined that the areas are very high risk. (30.49%) Includes some central, northern and southern areas, high-risk areas (14.8%) In the northern and southeastern regions, moderate risk areas (5.11%) In the southern extremities, low risk areas (12.9%) in the northwestern regions and very low risk areas It is scattered in the central, western, northern and northeastern areas of the city. The city of Torbat-e Heydarieh, as the center of the city, is in a very low risk range in terms of flood potential, although some parts of it are in a very high risk range. The rural settlements of Tiz County are mostly in very small areas. Of course, in the northern areas, especially in the northeast of the city, some rural areas are at high risk.

Keywords: Zoning, Flood, Torbat-e-Heydariyeh, Fuzzy zone, AHP model, GIS.

5. References

- Esfandiari Darabad, Fariba (2020). Flood Zoning of Ajrluchay Watershed Using L-THIA Method and Fuzzy Logic, Quantitative Geomorphological Research, Eighth Year, No.2, P.155.
http://www.geomorphologyjournal.ir/article_98653.html.
- Asghari Moghaddam, Mohammad Reza (2000) Natural geography of the city (hydrology and flooding of the city), first edition, Masi Publications, P. 45.
<https://library.yazd.ac.ir/DL/SPortal/Books>ShowSP.aspx?DC=29687>.
- Asghari, a hunter. Victory, Elnaz. Zeinali, Batool (2015) Flood Risk Zoning in Aghlaghan Chay Watershed Using Vickor Model, Journal of Quantitative Geomorphological Research, Fourth Year, No. 3, PP. 231-245
http://www.geomorphologyjournal.ir/article_78014.html.
- Eftekhari, Abdul Reza Ghadiri, Mahmoud Pious, Akbar. Shayan, Siavash (2009) An Analysis of Theoretical Perspectives of Society Vulnerability to Natural Hazards, Journal of Humanities Teacher Volume 13, Number 1, PP.30-31.
<https://www.sid.ir/fa/journal/ViewPaper.aspx?id=105541>.
- Emamia Kia (2015) Microzoning of flood risk in the city of Tabriz using AHP method, Geographical Research, Volume 30, Number 1, PP.167-180.
<https://www.sid.ir/fa/journal/ViewPaper.aspx?id=317463>.
- Tharouti, Mohammad Reza (2006) Calculation and analysis of average flood discharge using regional flood analysis method in the range of Khairrood Nowshahr to Sardabroud Chalous, Sarzamin Magazine, No.10, P.68.
https://sarzamin.srbiau.ac.ir/article_5951.html.
- Khalili, Ali Asroursh, Arian (2021) Evaluation of flood vulnerability in Makran region using ArcGIS software, Geographical Quarterly of Sarzamin, Year.17, No.66, PP.1-11.
https://sarzamin.srbiau.ac.ir/article_16614.html.
- Rostami, Farhad (2008). Modification of M Psiac sediment estimation model using fuzzy technique in Zagros dam basin, Master Thesis, Faculty of Literature, Geography, Tarbiat Moallem University.p42.
<https://ganj.irandoc.ac.ir/viewer/2b03a5d8b3d23962a9910b8317772d84>.
- Meteorological Organization of Khorasan Razavi Province, 2021.<https://www.irimo.ir>.
- Salami, Mohammad (2010). Analysis of Anzali Wetland Water Quality Parameters Using Fuzzy Mathematical Method, M.Sc. Thesis, Faculty of Science, Tarbiat Moallem University. P.20.
<https://ganj.irandoc.ac.ir/viewer/77e191c1de1b0d52f0cd7deb1f5a82c0>.
- Atai, Mohammad (2010). Fuzzy Multi-Criteria Decision Making, Shahrood University of Technology Publications, First Edition, P.244.
<https://shahroodut.ac.ir/fa/book/>
- Alizadeh, Amin (2008). Principles of Applied Hydrology, 24th Edition, Imam Reza University Press, P.87.
<http://imamreza.ac.ir/portal/display/?id=3168>
- Ghayyur, Hassan Ali (1996). Floods and flood-prone areas in Iran, Geographical Research Quarterly, No. 4. P.18.
<https://www.sid.ir/fa/journal/ViewPaper.aspx?ID=38346>.
- Ghodsipour, Hossein (2005). AHP Hierarchical Analysis Process, Amirkabir University of Technology, Publishing Center, P.224.
<http://publication.aut.ac.ir/>
- Qanavati, Ezatollah (2013). Evaluation and zoning of flood risk in Farahzad Basin, Tehran using fuzzy model, Journal of Geography and Environmental Planning, Volume 23, Number 4, PP.138-121.
<https://www.sid.ir/fa/JOURNAL/ViewPaper.aspx?id=204637>.
- Lotfi, Haidar. Jafari, Mahtab (2011). The process of urban safety to deal with natural hazards (floods) Case study of Tehran, Quarterly Journal of Geographical Space, Volume 11, Number 36, PP.296-283.
<https://www.sid.ir/fa/journal/ViewPaper.aspx?id=149464>.
- Mahmoudzadeh, Hassan Bakuei, Maedeh (2017).Flood zoning using fuzzy analysis Sari case study, Journal of Natural Environment Hazards, Volume 7, Number 18, PP.51-68.
<https://dx.doi.org/10.22111/jneh.2018.19885.1238>.
- Mehdizadeh, Javad (2012). Climate Hazard Analysis in Tabriz Using Fuzzy Logic and ANP Model, M.Sc. in Geography, Mohaghegh Ardabili University, Ardabil, P.97.
<https://ganj.irandoc.ac.ir/viewer/e7f659658507e0d6742dc16e3e55c757>.
- Mousavi, Seyedeh Masoumeh. Guard, Saeed. Rakhshani Moghadam, Haidar. Hosseinzadeh, Seyed Mohsen (2016). Evaluation and zoning of flood risk using TOPSIS fuzzy logic in GIS environment Case study of Baghmalek watershed, Journal of Environmental Hazards, Volume 5, Number 10, PP.79-98.
<https://dx.doi.org/10.22111/jneh.2017.2960>.
- Momeni, Mansour (1999). New Topics in Operations Research, Second Edition, University of Tehran Press, P.187.<https://press.ut.ac.ir/>.
- Nasrin Nejad, Nematullah Rangzan, Kazem. Kalantari, Nasra ..., Saberi, Azim (2014). Zoning of flood potential of Baghan watershed using fuzzy hierarchical analysis (FAHP), Journal of Remote Sensing and GIS in natural resources, Year 5, No. 4, PP.15-34.
http://girs.iaubushehr.ac.ir/article_516653.html.

- Vafakhah, Mehdi (2016) Preparation of flood risk map in Noor urban watershed using hierarchical analysis and fuzzy logic, Watershed Management Research Journal, Volume 7, Number 14. PP.11-19.
[https://www.sid.ir/fa/journal/ViewPaper.aspx?id=305232.](https://www.sid.ir/fa/journal/ViewPaper.aspx?id=305232)
- Yamani, Mojtaba (2005) The Relationship between Geomorphological Characteristics of Basins and Flood Capability (Analysis of Flood Data by Geomorphological Comparison of Fashand and Behjatabad Basins), Journal of Geographical Research, No. 54, P.49.
[https://www.sid.ir/fa/Journal/ViewPaper.aspx?ID=37732.](https://www.sid.ir/fa/Journal/ViewPaper.aspx?ID=37732)
- Adam Podlaha, Michal Lorinc, Gaurav Srivastava, Steve Bowen, Brian Kerschner (2020), Global Catastrophe Recap: First Half of July 2020. PP.110.
[http://catastropheinsight.aon.com.](http://catastropheinsight.aon.com)
- Chang CT. (2008). Revised multi-choice goal programming. Applied mathematical modelling, 32(12): PP.2587-2595.
[https://doi.org/10.1016/j.apm.2007.09.008.](https://doi.org/10.1016/j.apm.2007.09.008)
- Fernandez, D.S. M.A. Lutz. (2010), Urban flood hazard zoning in Tucumán Province Argentina, using GIS and multicriteria decision analysis, Engineering Geology No.111, PP.90-98.
[http://dx.doi.org/10.1016%2Fj.enggeo.2009.12.006.](http://dx.doi.org/10.1016%2Fj.enggeo.2009.12.006)
- Laarhoven VP, Pedrycz W. (1983). A fuzzy extension of Saaty's priority theory. Fuzzy sets and Systems, 11(1). PP.199-227.
[https://www.scip.org.](https://www.scip.org)
- Lee AH, Chen WC, Chang CJ. (2008). A fuzzy AHP and BSC approach for evaluating performance of IT department in the manufacturing industry in Taiwan. Expert systems with applications,34(1). PP.96-107.
[https://DOI:10.1016/j.eswa.2006.08.022.](https://DOI:10.1016/j.eswa.2006.08.022)
- OECD (2016), Financial management of flood risk, Paris: OECD Publishing. PP. 76.
[http://DOI:10.1787/9789264257689.](http://DOI:10.1787/9789264257689)
- Osman Sonmez,Hussein Bizimana(2018), Flood hazard risk evaluation using fuzzy logic and weightage based combination method in Geographic Information System (GIS), September 2018. Scientia Iranica, PP.45-55.
[https://DOI:10.24200/SCI.2018.21037.](https://DOI:10.24200/SCI.2018.21037)
- Pratik Dash,Jishnu Sar (2020), Identification and validation of potential flood hazard area using GIS-based multi-criteria analysis and satellite data-derived water index, Journal of Flood Risk Management published by Chartered Institution of Water and Environmental Management and John Wiley & Sons Ltd. PP.123-145.
[https://DOI.org/10.1111/fr3.12620.](https://DOI.org/10.1111/fr3.12620)
- Saaty TL (1994), How to make a decision: the analytic hierarchy process. Interfaces, 24(6). PP.19-43.
[https://scirp.org/reference/referencespapers.aspx?referenceid=1951458.](https://scirp.org/reference/referencespapers.aspx?referenceid=1951458)
- Sufia Rehman, Mehebub Sahana, Haoyuan Hong, Haroon Sajjad & Baharin Bin Ahmed (2019). A systematic review on approaches and methods used for flood vulnerability assessment : framework for future research,Natural Hazards Volume.96, PP.975-998.
[https://link.springer.com/article/10.1007/s11069-018-03567.](https://link.springer.com/article/10.1007/s11069-018-03567)
- UNISDR CRED (2015), The human cost of weather-related disasters 1995-2015. P.119.
[https://www.unisdr.org/files/46796_cop21weatherdisastersreport2015.](https://www.unisdr.org/files/46796_cop21weatherdisastersreport2015)
- Valentina Nikolova ,Plamena Ventseslavova Zlateva (2017). Assessment of Flood Vulnerability Using Fuzzy Logic and Geographical Information Systems, Conference: International Conference on Information Technology in Disaster Risk Reduction. November 2017, P.20.
[https://DOI:10.1007/978-3-319-68486-4.](https://DOI:10.1007/978-3-319-68486-4)
- Yahaya, S. (2008). Multicriteria Analysis for Flood Vulnerable Areas in Hadejia-Jama River Basin, Nigeria. Annual Conference Portland, Oregon. ASPRS 2008 Annual Conference Portland, Oregon. April 28-May 2, 2008. P.87.
[https://DOI:10.1.1.462.4745.](https://DOI:10.1.1.462.4745)
- Yen an Wu, Ping-an Zhong, Yu Zhang, Biao Ma, Kun Yan,(2015), Integrated flood risk assessment and zonation method: a case study in Huaihe River basin, China, Natural Hazards, Issue 1, PP.635-651.
[https://DOI:10.1007/s11069-015-1737-3.](https://DOI:10.1007/s11069-015-1737-3)
- Zening Wu, Yanxia Shen and Huiliang Wang(2019), Assessing Urban Areas' Vulnerability to Flood Disaster Based on Text Data: A Case Study in Zhengzhou City, College of Water Conservancy and Environment, Zhengzhou University, Zhengzhou 450001, and China.Correspondence: Received: 23 July 2019; Accepted: 8 August 2019; Published: 21 August 2019. P.168.
[https://DOI:10.3390/su11174548.](https://DOI:10.3390/su11174548)



جغرافیا و توسعه

شماره پایی: ۱۷۳۵-۰۷۲۵ شماره آنلاین: ۲۶۷۶-۷۷۹۱

<https://gdij.usb.ac.ir>



دانشگاه سیستان و بلوچستان

پنهان‌بندی خطر و قوع سیل در شهرستان تربت حیدریه با استفاده از عملکردهای فازی

دکتر سانا ز سعیدی‌مفرد^{۱*}، مهدی آسیایی^۲، فاطمه گهرخواه^۳

مقاله پژوهشی

چکیده
 آگاهی از وقوع مخاطرات طبیعی برای برنامه‌ریزی و توسعه شهری از اهمیت بسیار بالایی برخوردار است. یکی از مهم‌ترین مخاطرات طبیعی سیل است که در صورت وقوع، خساراتی را بر جا خواهد گذاشت. یکی از راه‌های مقابله با سیل، پنهان‌بندی پتانسیل سیل خیزی است. پژوهش حاضر با هدف پنهان‌بندی خطر و قوع سیل در شهرستان تربت حیدریه با تأکید بر نقاط شهری و روستایی در سال ۱۳۹۹ انجام پذیرفته است. این پژوهش از نوع کاربردی است که در آن از منطق فازی، تحلیل سلسنه‌مراتبی AHP و سامانه اطلاعات حرفه‌ای استفاده شده است. در این پژوهش هشت معیار شیب، فاصله از رودخانه، ارتفاع، زمین‌شناسی، کاربری اراضی، بارش، تراکم زهکشی و پوشش گیاهی مورد مطالعه قرار گرفته است. برای پنهان‌بندی خطر و قوع سیل ابتدا لایه‌های انتخاب شده در محیط GIS Arc Rest استوار شده و سپس با استفاده از توابع عضویت، فازی و درنهایت نقشه‌های فازی شده لایه‌ها به دست آمد است. در ادامه نیز با کمک نرم‌افزار اکسل فرایند مقایسه زوجی معیارها نسبت به یکدیگر انجام شده و سپس وزن نهایی معیارها با لایه‌های فازی ترکیب و درنهایت نقشه‌های به دست آمده با عملکردهای فازی منطق و نقشه پنهان‌بندی استخراج شده است. نتایج حاصل نشان می‌دهد که متغیرهای اصلی و مؤثر در ایجاد سیل در منطقه مورد مطالعه شیب با ضریب وزنی ۰/۳۰۶ و بارش با ضریب وزنی ۰/۱۷۵ است. البته متغیر پوشش گیاهی با ضریب وزنی ۰/۰۴۰ کمترین تأثیر را در منطقه مورد مطالعه داشته است؛ بنابراین شهرستان تربت حیدریه با توجه به نقشه کلاس‌بندی خطر سیل خیزی در منطقه با خطر خیلی زیاد قرار دارد؛ از این‌رو انجام عملیات آبخیزداری در سطح شهرستان مهم است. همچنین لازم به ذکر است شهر تربت حیدریه در محدوده خطر خیلی کم و به لحاظ سکونتگاه‌های روستایی نیز اکثر آبادی‌های این شهرستان در پنهان با خطر آسیب‌پذیری زیاد و خیلی کم قرار دارند.

جغرافیا و توسعه، شماره ۶۶، بهار ۱۴۰۱

تاریخ دریافت: ۱۳۹۹/۱۲/۰۴

تاریخ بازنگری داوری: ۱۴۰۰/۰۶/۲۳

تاریخ پذیرش: ۱۴۰۰/۰۷/۲۸

صفحات: ۸۱-۱۰۶



واژه‌های کلیدی:
 مخاطرات طبیعی، آسیب‌پذیری، تحلیل سلسنه‌مراتبی.

و ژوئن سال ۲۰۱۹ حداقل ۱۶۳ مخاطره طبیعی ثبت شده است. در نیمة اول سال ۲۰۲۰ خسارات ناشی از مخاطرات طبیعی در سطح جهان ۷۵ میلیارد دلار برآورد می‌شود که نزدیک به خسارات واردہ در طی سال‌های ۱۹۸۰ تا ۲۰۱۹ است (Podlaha, 2020: 4). یکی از مهم‌ترین مخاطرات طبیعی سیل است که در صورت وقوع منجر به خسارات‌های فراوانی می‌شود. براساس آمار سازمان ملل در حدود ۲/۳ میلیارد نفر در جهان تحت تأثیر آثار ناشی از آن هستند (United Nations Office for Disaster Risk Reduction (UNDRR), (2015))

مقدمه

هر ساله مخاطرات طبیعی خسارات فراوانی را در کشورهای مختلف باعث می‌شود. شواهد حکایت از افزایش انواع بحران‌های طبیعی از نظر شدت و فراوانی است (افتخاری و همکاران، ۱۳۸۱: ۳۰). براساس گزارش‌های مرکز مطالعات آئون^۱ در شش ماه اول سال ۲۰۲۰ حداقل ۲۰۷ فاجعه طبیعی در سطح جهان ثبت شده است. این آمار بالاتر از میانگین قرن ۲۱ است. با توجه به آمارهای بین‌المللی در سال ۲۰۱۹ حداقل ۲۷ درصد از مخاطرات جهانی در حوزه بلایای طبیعی اتفاق افتاده است؛ به طوری که بین ژانویه

1- استادیار گروه شهرسازی، واحد مشهد، دانشگاه آزاد اسلامی، مشهد، ایران (نویسنده مسئول)

2- دانشجوی دکتری جغرافیا و برنامه‌ریزی شهری، دانشگاه تهران، ایران

3- دانشجوی دکتری جغرافیا و برنامه‌ریزی شهری، دانشگاه تهران، ایران

4-AON

شناخت عوامل مؤثر در مخاطرات طبیعی و خسارات ناشی از آن مهم است. استان خراسان رضوی نیز به عنوان یکی از مهم‌ترین استان‌های کشور هر ساله تحت تأثیر این مخاطرات قرار دارد که متأسفانه منجر به خسارات زیادی می‌شود؛ از این‌رو توجه به آسیب‌پذیری شهرستان‌های این استان به‌ویژه شهرستان تربت‌حیدریه امری مهم تلقی می‌شود.

مطالعات بسیار خوبی در سطح بین‌المللی و ملی در این زمینه انجام شده است که در ادامه به برخی از آن‌ها اشاره می‌شود. پراتیک داش² در سال ۲۰۲۰ در پژوهشی به شناسایی و اعتبارسنجی منطقه احتمالی خطر سیل با استفاده از تجزیه و تحلیل چندمعیاره مبتنی بر سیستم اطلاعات جغرافیایی و شاخص آب مشتق شده از داده‌های ماهواره‌ای در منطقه الله‌آباد، هند پرداخته است. در این پژوهش با تجزیه و تحلیل چندمعیاره احتمال خطر سیل شناسایی شده است. این مطالعه شامل هشت معیار تجمع جریان، قابلیت تخلیه، ارتفاع، عمق آب زیرزمینی، کاربری زمین، رواناب، شب و زمین‌شناسی است. نتایج نشان می‌دهد ۸۱ درصد از زمین‌های کشاورزی در این منطقه، مستعد سیل هستند. زینگوو³ در سال ۲۰۱۹ در مطالعه‌ای به ارزیابی آسیب‌پذیری مناطق شهری در برابر سیل در شهر زینگووی چین پرداخته است. نتایج حاصل از این پژوهش، ارائه مدل ارزیابی آسیب‌پذیری این شهر در برابر سیلاب است که براساس فرایند تحلیل سلسله‌مراتبی و سیستم اطلاعات جغرافیایی ارائه کرده است. عثمان سونمز⁴ در سال ۲۰۱۸ به بررسی ارزیابی خطر ریسک سیل با استفاده از منطق فازی و روش ترکیبی مبتنی بر وزن‌دهی در سیستم اطلاعات جغرافیایی در شهر ویورلی کشور ترکیه پرداخته است. در این مطالعه متغیرهای ارتفاع، فاصله از رودخانه، کاربری اراضی و

سیل رویدادی ناگهانی است که در بروز آن عوامل متعددی دخالت دارند، این عوامل در سه گروه اصلی اقلیمی، خصوصیات منطقه‌ای و فعالیت‌های انسانی خلاصه می‌شود (لطفی، ۱۳۹۰: ۲۱۴). البته لازم به ذکر است تغییرات کاربری اراضی، شهرنشینی، ساخت‌وسازهای غیراصولی، سیستم فاضلاب قدیمی و توسعه اراضی غیرقابل نفوذ در مناطق شهری که ناشی از فعالیت‌های انسانی است نیز تأثیر مهمی در وقوع این خطر دارند (Fernandez, 2010: 90). یکی از مهم‌ترین راههای شناسایی مناطق مستعد این مخاطره طبیعی، پهنه‌بندی مناطق مستعد سیل خیزی است؛ از این‌رو در یک تعریف می‌توان گفت که پهنه‌بندی پتانسیل سیل خیزی عبارت است از تعیین و توصیف مناطق دارای پتانسیل ازنظر رواناب‌های سطحی که براساس خصوصیات مناطق است (ثروتی و همکاران، ۱۳۱۵: ۶۳). کاربردهای نقشه‌های پهنه‌بندی سیل نیز در مدیریت آن است و به وسیله آن می‌توان نسبت به تعیین حریم و بستر رودخانه‌ها، توجیه اقتصادی طرح‌های عمرانی، پیش‌بینی، هشدار و عملیات امداد و نجات و... اقدام کرد (افتخاری، ۱۳۸۸: ۳۱). با توجه به توضیحات بالا و با توجه به رشد شهرسازی در سه دهه گذشته که منجر به گسترش شهرها و تخریب محیط طبیعی شده است و همچنین تأثیر فعالیت‌های انسانی و بی‌توجهی به برنامه‌ریزی‌های شهری و ایجاد شهرها و شهرک‌های جدید در مناطق مستعد، زمینه‌ساز افزایش سطوح نفوذناپذیر شده است که این امر منجر به افزایش دبی آب و وقوع سیل می‌شود (سازمان همکاری اقتصادی و توسعه، ۱۴۰۰: از این‌رو همان‌طور که اشاره شد، یکی از راههای مدیریت مخاطرات طبیعی (سیل) پهنه‌بندی پتانسیل وقوع آن است که در ادامه مورد بررسی قرار خواهد گرفت. ایران به‌واسطه خصوصیات طبیعی از جمله کشورهای آسیب‌پذیر در برابر مخاطرات طبیعی است؛ از این‌رو

2-Pratik Dash,(2020)

3-Zening Wu, Yanxia Shen and Huiliang Wang (2019)

4- Osman Sonmez, Hussein Bizimana (2018)

1-OECD (Organisation for Economic Co-operation and Development), (2016).

پهنه‌بندی سیل در حوضه آبخیز آجرلوچای با استفاده از منطق فازی پرداخته است، نتایج نشان داد که بیشتر مساحت منطقه مورد مطالعه دارای پتانسیل سیل خیزی کم، خیلی کم و متوسط است. محمودزاده در سال ۱۳۹۷ در پژوهشی به پهنه‌بندی سیل با استفاده از تحلیل فازی (مطالعه موردنی: شهر ساری) پرداخته است. این تحقیق به منظور پهنه‌بندی خطر سیل در شهر ساری بالاستفاده از تکنیک‌های تصمیم‌گیری چندمعیاره صورت گرفته است. نتایج این تحقیق نشان می‌دهد که خطر سیل در مرکز و جنوب شهر ساری از بیشترین مقدار برخوردار است. نقشه پهنه‌بندی خطر سیل نیز بیانگر این موضوع است که ۲۴/۱۲ درصد در پهنه‌بندی خطر خیلی زیاد و ۳۷/۰۵ درصد در پهنه‌بندی خطر خیلی کم قرار گرفته است. وفاخواه در سال ۱۳۹۵ اقدام به تهیه نقشه خطرپذیری سیل در حوزه آبخیز شهری نور با استفاده از تحلیل سلسله‌مراتبی و منطق فازی کرده است. وی در این تحقیق از معیارهای کاربری اراضی شهری، فاصله از رودخانه، ارتفاع، شیب و عمق آب زیرزمینی استفاده شده است. نتایج نشان می‌دهد ۱۵ درصد از محدوده مطالعاتی در کلاس‌های خطرپذیری خیلی زیاد و زیاد است. امامی کیا در سال ۱۳۹۴ ریزپهنه‌بندی خطر سیل در محدوده شهر تبریز را با استفاده از تحلیل سلسله‌مراتبی و با هدف بررسی میزان خطرپذیری سیل و ارزیابی خسارت وارد که شهر تبریز را انجام داده است. در این تحقیق پارامترهای کاربری اراضی، جمعیت، مسیلهای، شیب، تراکم مسکونی، رواناب، فضای باز و قدمت اینیه مطالعه شده است. نتایج حاصل بیانگر این موضوع است که بر اثر فعالیت‌های انسان و عملیات عمرانی شاهد افزایش حجم رواناب و شدت آن هستیم. اصغری در سال ۱۳۹۴ در مطالعه‌ای با عنوان پهنه‌بندی خطر سیل در حوضه آبخیز آقلakanچای با استفاده از مدل ویکور به این نتیجه رسید که عوامل شیب، ارتفاع و فاصله از آبراهه، بیشترین تأثیر را بر ایجاد سیل در منطقه آقلakanچای دارند.

تراکم جمعیت مورد بررسی قرار گرفته است. نتایج حاصل از این کار تحقیقاتی تولید نقشه‌های خطر سیل خیزی شهر ویورلی و همپوشانی آن‌ها با یکدیگر است. صوفی^۱ در پژوهشی در سال ۲۰۱۸ به بررسی سیستماتیک روش‌های تهیه نقشه سیل پرداخته است. این مطالعه در سال‌های ۲۰۱۸-۲۰۱۱ انجام و از شبکه عصبی مصنوعی، مدل‌های هیدرودینامیکی و تکنیک‌های زمین‌شناسی استفاده شده است. نتایج پژوهش نشان می‌دهد آسیب‌پذیری در مقابل سیل رابطه‌ای با زمینه‌های اجتماعی، زیست محیطی و اقتصادی دارد. نیکولووا و ضلاتوا^۲ در سال ۲۰۱۷ در پژوهشی با استفاده از منطق فازی اقدام به تهیه نقشه سیل در محیط سیستم‌های اطلاعات جغرافیایی کرده است. بارش، فاصله از رودخانه، تجمع جریان، سنگ‌شناسی، کاربری اراضی، شیب‌ها و ارتفاع به عنوان عوامل تأثیرگذار در سیل درنظر گرفته شده و نقشه پتانسیل سیل خیزی رودخانه لودا کامچیا ارائه شده است. ینان^۳ در سال ۲۰۱۵ در حوضه رودخانه هیائی، با استفاده از روش تحلیل سلسله‌مراتبی و سیستم اطلاعات جغرافیایی، پهنه‌بندی خطر سیل را انجام داده است. نتایج نشان می‌دهد که استفاده از مدل تحلیل سلسله‌مراتبی، در ارزیابی خطر سیل‌های حوضه در سال‌های ۱۹۶۰ تا ۲۰۱۰، سازگار بوده است.

در داخل کشور نیز مطالعاتی انجام گرفته که در ادامه به برخی از آن‌ها اشاره می‌شود. خلیلی در سال ۱۳۹۹ در پژوهشی به بررسی ارزیابی آسیب‌پذیری ناشی از سیل در منطقه مکران با استفاده از نرم‌افزار سیستم اطلاعات جغرافیایی پرداخته است. در این مطالعه پنج شاخص به روش تحلیل سلسله‌مراتبی مورد ارزیابی قرار گرفته و در انتهای تحلیل‌های فضایی با استفاده از نرم‌افزار سیستم اطلاعات جغرافیایی ارائه شده است. اسفندیاری در سال ۱۳۹۸ در پژوهشی به بررسی

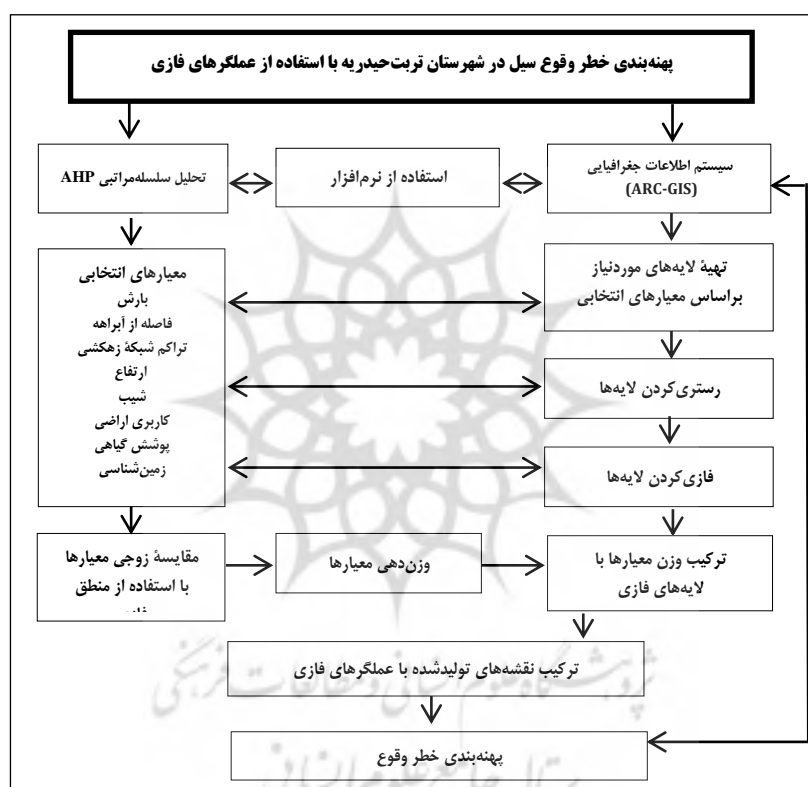
1-Sufia Rehman, Mehebub Sahana, Haoyuan Hong, Haroon Sajjad & Baharin Bin Ahmed (2019)

2-Valentina Nikolova ,Plamena Ventseslavova Zlateva (2017)

3-Yen an Wu,Ping-an Zhong, Yu Zhang, Biao Ma, Kun Yan, (2015)

سیل خیزی و پهنه‌بندی آن می‌تواند به عنوان نوآوری این پژوهش بیان کرد؛ بنابراین هدف اصلی این پژوهش شناسایی معیارهای مؤثر بر میزان آسیب‌پذیری شهرستان تربت‌حیدریه در برابر مخاطره سیل و ارائه پهنه‌بندی سیل خیزی شهرستان با استفاده از روش منطق فازی در محیط Arc-GIS است.

نتایج مطالعه نشان می‌دهد که حوضه آق‌لاقالچای دارای توان بسیار بالا از لحاظ رخداد سیل است؛ بنابراین انجام اقدامات حفاظتی، آبخیزداری و مدیریتی در این حوضه لازم است. براساس پیشینه تحقیق مطالعه‌ای در این زمینه در سطح شهرستان تربت‌حیدریه به صورت جامع صورت نپذیرفته است؛ از این‌رو انجام این پژوهش و معرفی مهم‌ترین معیارهای تأثیرگذار در خصوص



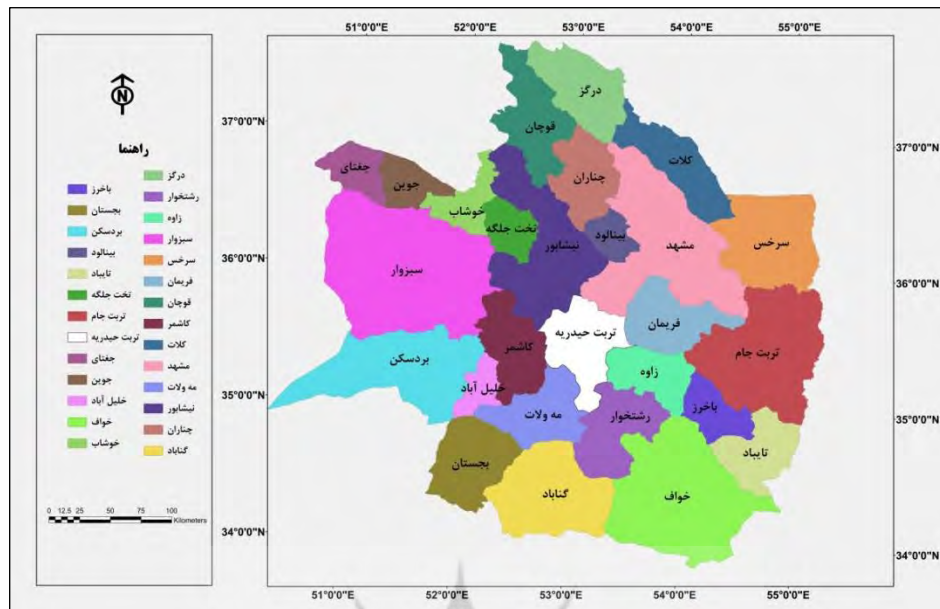
شکل ۱: مراحل انجام تحقیق

تهریه و ترسیم: نگارندگان، ۱۳۹۹

تربت‌حیدریه از شمال به شهرستان‌های نیشابور، مشهد و فریمان، از شرق به شهرستان‌های تربت‌جام، تایباد و خواوف از جنوب به شهرستان‌های رشتخار و مه‌ولات و از غرب به شهرستان کاشمر محدود می‌شود (شکل ۱ و ۲). این شهرستان دارای اقلیم سرد و نیمه‌خشک، متوسط بارش آن ۲۵۰ میلی‌متر و متوسط دمای سالانه آن ۲۷/۲ درجه سلسیوس است (سازمان هواشناسی استان خراسان رضوی، ۱۳۹۹).

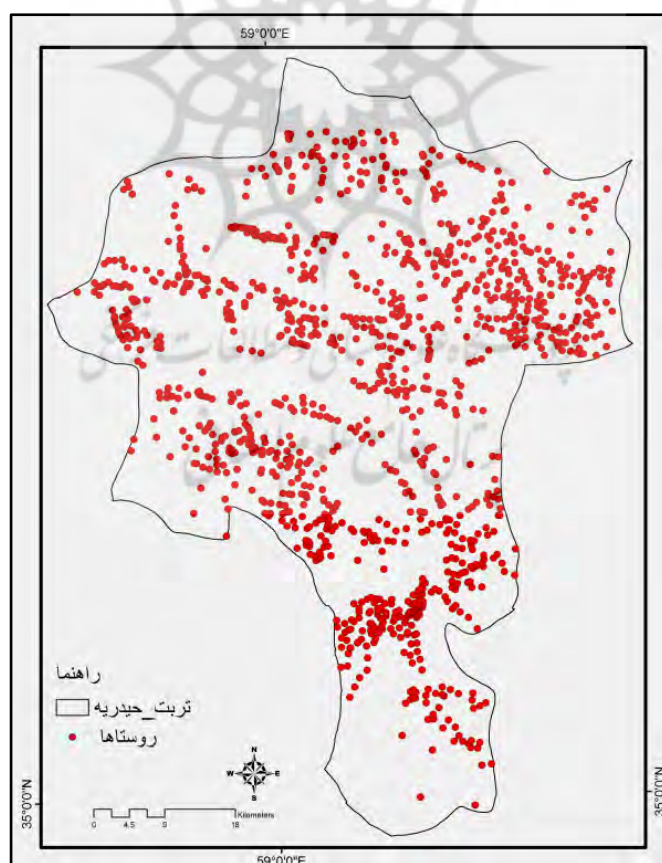
مواد و روش‌ها منطقه مورد مطالعه

شهرستان تربت‌حیدریه در فاصله ۱۴۲ کیلومتری جنوب مشهد قرار دارد. این شهرستان در طول جغرافیایی ۵۸ درجه و ۴۱ دقیقه تا ۶۰ درجه و ۷ دقیقه طول شرقی و عرض جغرافیایی ۳۴ درجه و ۵۹ دقیقه و ۳۵ درجه و ۵۱ دقیقه شمالی قرار گرفته و ارتفاع آن از سطح آب‌های آزاد ۱۳۳۳ متر است.



شکل ۱: نقشه موقعیت جغرافیایی شهرستان تربت حیدریه

تپهه و ترسیم: نگارندگان، ۱۳۹۹



شکل ۲: نقشه پراکنش جغرافیایی روستاهای در شهرستان تربت حیدریه

تپهه و ترسیم: نگارندگان، ۱۳۹۹

لایه پوشش گیاهی: این لایه از اداره کل منابع طبیعی استان تهیه شده است.

ب) روش کار: روش کار در این پژوهش بر تحلیل سلسله‌مراتبی، منطق فازی و استفاده از سیستم اطلاعات جغرافیایی استوار است که در ادامه به توضیح مختصر آن پرداخته می‌شود.

تحلیل سلسله‌مراتبی: روش تحلیل سلسله‌مراتبی یکی از پرکاربردترین روش‌های تصمیم‌گیری چندمعیاره است که توسط ساعتی در سال ۱۹۸۰ معرفی شد (Saaty TL, 1994: 19). با وجود مزایای بسیار زیاد تحلیل سلسله‌مراتبی (AHP)، دارای کمبودهایی است (Chang CT, 2008: 2588).

تصمیم‌گیرندگان اغلب به علت طبیعت فازی مقایسه‌های زوجی قادر نیستند به صراحت نظرشان را در مورد اهمیت معیارها بیان کنند؛ به همین دلیل در قضایت‌های شان ارائه یک بازه را به جای یک عدد ثابت ترجیح می‌دهند؛ از این‌رو برای مدل‌سازی این نوع از عدم‌اطمینان‌ها از تئوری مجموعه‌های فازی استفاده می‌شود (قدسی‌پور، ۱۳۱۴: ۱۲۲؛ عطائی، ۱۳۱۹: ۹۶).

منطق فازی در دهه ۱۹۶۰ توسط لطفی‌زاده، برای اولین بار ارائه شد. وی عضویت جزئی یک دسته را پیشنهاد کرد؛ از این‌رو با توجه به اینکه پدیده‌های نظیر سیل تحت تأثیر عوامل بسیاری قرار دارند و این عوامل قطعی نیستند، بهتر است در مطالعه چنین پدیده‌هایی به جای استفاده از مدل بولین از مدل فازی بهره گرفت (مؤمنی، ۱۳۷۱: ۱۱۷).

منطق فازی شیوه‌ای مرسوم برای طراحی و مدل‌سازی یک سیستم که نیازمند ریاضیات پیشرفته و بهنسبت پیچیده است را با استفاده از مقادیر و شرایط زبانی و یا به عبارتی دیگر با دانش فرد خبره و با هدف ساده‌سازی و کارآمدترشدن طراحی، جایگزین یا تا حد زیادی تکمیل می‌کند (سلامی، ۱۳۱۹: ۲۰).

داده‌ها و روش کار

پژوهش حاضر از نوع کاربردی است که در آن از منطق فازی، تحلیل سلسله‌مراتبی، ARC-GIS و نرم‌افزار Excel نیز استفاده شده است که در ادامه به توضیح داده‌های مورداستفاده و روش کار اشاره می‌شود.

(الف) داده‌ها: داده‌هایی که در این پژوهش استفاده شده است، عبارت‌اند از:

لایه رقومی/ارتفاع: این لایه با سیل خیزی رابطه مستقیم دارد و از نقشه رقومی ارتفاع DEM با قدرت تفکیک‌پذیری 30×30 به دست می‌آید.

لایه شبیه: شبیه تعیین کننده میزان و سرعت حرکت آب است (اصغری‌مقدم، ۱۳۷۱: ۴۵). این لایه از نقشه رقومی ارتفاع DEM به دست می‌آید.

لایه زمین‌شناسی: این لایه به‌طور غیرمستقیم در سیل تأثیرگذار است (یمانی، ۱۳۱۴: ۴۹) و از نقشه زمین‌شناسی با مقیاس ۱:۱۰۰۰۰ سازمان زمین‌شناسی گرفته شده است.

لایه فاصله از آبراهه: از مهم‌ترین عوامل افزایش خسارات سیل استفاده نامناسب از حریم مسیل‌ها است (غیور، ۱۳۷۵: ۱۸). این لایه نیز از نقشه رقومی ارتفاع DEM به دست آمده است.

لایه کاربری‌ارضی: کاربری اراضی به شیوه‌های گوناگون در بروز سیلاب تأثیرگذار است. هر گونه اقدامی که باعث کاهش رطوبت‌خاک و کاهش نفوذ‌پذیری شود، افزایش سیلاب را به همراه خواهد داشت (مهدی‌زاده، ۱۳۹۱: ۹۷). نقشه کاربری اراضی شهرستان با مقیاس ۱:۵۰۰۰۰ از اداره کل منابع طبیعی استان تهیه شده است.

لایه بارش: بارش مهم‌ترین عامل در چرخه هیدرولوژی است (علیزاده، ۱۳۱۷: ۷۱۳). این لایه از سازمان هواشناسی استان تهیه شده است.

لایه تراکم زهکشی: این لایه با سیل خیزی رابطه عکس دارد و از نقشه رقومی ارتفاع DEM با قدرت تفکیک‌پذیری 30×30 به دست آمده است.

حال استاندارد داشته و بیشتر در محاسبات مهندسی مورد استفاده قرار می‌گیرند؛ عبارتنداز؛ مثلثی، ذوزنقه‌ای، گوسین، زنگوله‌ای و فازی.

تابع مثلثی: عدد فازی مثلثی یکی از مهم‌ترین و پرکاربردترین اعداد فازی است. استفاده از این تابع در کاربردهای مهندسی معمول است؛ چون سرعت اجرای آن بسیار زیاد است.

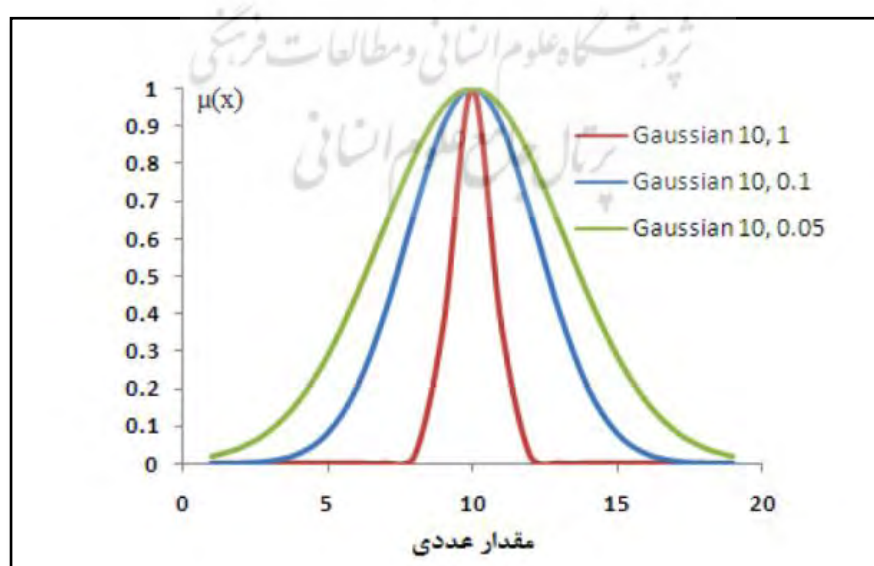
تابع ذوزنقه‌ای: مطابق رابطه زیر تعریف می‌شود:
رابطه ۱:

$$\text{Trapmf } (x; a, b, c, d) = \max (\min (x-a/b-a, 1, c-x/c-b), 0)$$

تابع گوسین: این تابع از فرمول‌های گوسی تبعیت می‌کند و بیشتر در پدیده‌های طبیعی به کار می‌رود (شکل ۲). این تابع مقادیر اولیه را به توزیع نرمال تبدیل می‌کند. نقطه مرکزی توزیع نرمال، تعریف ایده‌آل برای مجموعه را تعیین می‌کند که همان مقدار عضویت فازی بیشینه یا عدد ۱ است؛ در حالی که مقدار ورودی باقیمانده در عضویت کاهش می‌یابد تا در طرفین دامنه ورودی به مقدار عضویت صفر برسد.

این نظریه در الگوکردن نظریه‌های فیزیکی، نقشه‌برداری و طبقه‌بندی به طور گسترده استفاده می‌شود (رستمی، ۱۳۸۷: ۴۲).

در مدل فازی‌های عضو هم‌زمان در مجموعه‌های مختلف ولی‌به درجات متفاوت عضویت دارد. درجات عضویت مقادیر بین صفر و یک و نیز خود این دو در حال تغییر است. عدد فازی عددی است که ارزش آن تا حدودی نامشخص است. آن‌ها نوع خاصی از مجموعه‌های فازی هستند که اعضاشان اعداد حقیقی می‌باشند؛ از این‌رو گسترش نامحدود دارند. تابع مربوط به عدد عضویت و درجه عضویت تابع عضویت نامیده می‌شود. هر پارامتر در مدل بهوسیله یک سری واژه‌های زبانی توضیح داده می‌شود؛ مثلاً متغیر فاصله از رودخانه را می‌توان با مقادیر زبانی نزدیک، متوسط و دور دسته‌بندی کرد. تابع عضویت باید در دامنه‌ای وسیع‌تر از مقادیر ممکن برای متغیرهایی که آن‌ها را تشریح می‌کنند، تعریف شوند و باید قادر به پذیرفتن شکل‌های مختلف بسته به مفهوم واژه‌های زبانی باشند. اعداد فازی ممکن است هر شکلی داشته باشند؛ ولی تعدادی از آن‌ها که

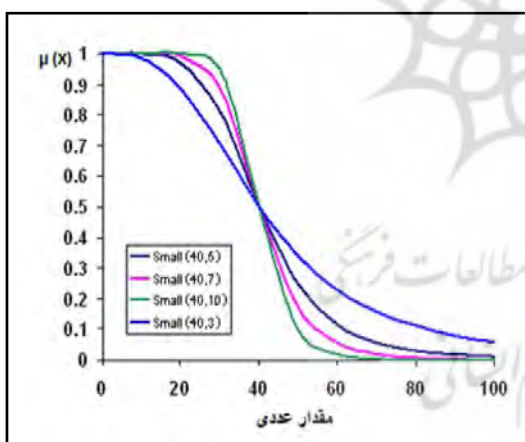


شکل ۴: تابع عضویت فازی گوسین

مأخذ: Yahaya, 2008

یک عضو به مقدار عضویت ۵ درصد و پارامتر گسترش شکل منطقه انتقال را تعریف می کند (شکل ۴).
تابع عضویت فازی کوچک: هنگامی از این تابع استفاده می شود که مقادیر ورودی کوچکتر احتمال بیشتری دارد که عضویت حداقلی مجموعه باشند. شکل زیر تابع عضویت کوچک را نشان می دهد (شکل ۵).

عملیات روی مجموعه های فازی: در اجرای تکنیک فازی به عملگرهای نظیر OR (اجتماع)، اشتراک AND Product (ضریب جبری) Sum جمع جبری و Gamma گاما نیاز است. در عملگر OR پیکسلی که فقط از نظر یک نقشه مناسب بوده و ارزش یک داشته و از لحاظ سایر لایه های اطلاعاتی دارای ارزش صفر باشد، در نقشه خروجی تلفیق می یابد و ارزش یک می گیرد و مناسب تشخیص داده می شود.



شکل ۶: تابع فازی کوچک

Yahaya: 2008



شکل ۵: تابع فازی بزرگ

حساسیت خیلی بالای عملگر Product و دقت خیلی کم عملگر Sum به نام عملگر Gamma تعریف شده است. مقدار گامای تعديل کننده، بین صفر و یک است و از طریق قضاوت کارشناسانه تعیین می شود. گامای صفر معادل ضرب فازی و گامای یک معادل جمع فازی است.

تابع زنگوله ای: حالت کلی تابع گوسی است که در آن تنها یک نقطه درجه عضویت یک ندارد. بدیهی است که می توان بنا به کاربرد مسئله، تابع فازی را آن گونه که مدنظر است، تعریف کرد و از شکل های متفاوت تابع فازی استفاده کرد. این عمل امکان رسیدن به نتایج مختلف را حاصل می کند. توابع عضویت فازی، اطلاعات ورودی را به مقیاس صفر تا یک تبدیل می کند. عضویت صفر به مکان هایی تعلق دارد که قطعاً عضو مجموعه مشخص شده نیستند و عضویت یک به مقادیری تعلق دارد که دقیقاً عضوی از مجموعه مشخص شده است (شکل ۳).

تابع عضویت فازی بزرگ: در این تابع مقادیر ورودی بزرگ تر و بیشتر احتمال عضویت در مجموعه را دارند. نقطه مرکزی تابع بزرگ یا نقطه متقطع صفر را با مقادیری بیشتر از نقطه میانی تعیین می کند. اختصاص

عملگر AND در این عملگر فقط پیکسلی که در تمامی نقشه های پایه ارزش یک دارد، در نقشهنهایی ارزش یک خواهد داشت و جزء مناطق مناسب قرار می گیرد. عملگر Product موجب می شود تا اعداد مجموعه ها کوچک تر شود و به سمت صفر میل کند؛ اما عملگر Sum برخلاف عملگر Product موجب می شود تا اعداد به سمت یک میل کند. برای تعديل

با استفاده از این عملگر فازی مقدار عضویت فازی نقشه خروجی در هر موقعیت همواره بزرگ‌تر یا مساوی بزرگ‌ترین مقدار عضویت فازی در موقعیت‌های متناظر نقشه‌های ورودی است؛ بنابراین عملگر فوق اثر افزاینده دارد.

عملگر گاما فازی (Fuzzy Operation Gamma): این روش ترکیبی از روش‌های SumFuzzy Algabric و Fuzzy Algabric Product است. در این روش فاکتورها با وزن‌های مختلف برطبق این رابطه است (رابطه ۶).

رابطه ۶:

$$\mu \text{ combination} = (\text{Fuzzy Agabric Sum})^\delta (\text{Fuzzy Agabric Product})^{1-\delta}$$

در این رابطه مقدار δ بین عدد صفر تا یک تعیین می‌شود. در صورتی که بخواهیم اهمیت روش Fuzzy Algabric Sum بیشتر باشد، مقدار δ نزدیک به یک و Fuzzy Algabric Product در صورتی که بخواهیم روش Fuzzy Algabric Product بیشتر مدنظر باشد، مقدار δ نزدیک به عدد صفر انتخاب می‌شود. انتخاب صحیح و آگاهانه δ مقدارهایی را در خروجی به وجود می‌آورد که یک سازگاری قابل انعطاف میان گرایش کاهشی و افزایشی دو عملگر فازی Product و Sum را دارد؛ بنابراین به منظور استفاده از مزایای هر دو تکنیک فازی و AHP و غلبه بر نقاط ضعف، ون لارهون و پدریکز^۱، اولین بار اصول منطق فازی را در تحلیل سلسله‌مراتبی به کار برند (Laarhoven VP, 1983:199).

این روش دامنه‌ای از مقادیر را برای بیان عدم قطعیت تصمیم‌گیرنده‌گان به کار می‌گیرد (Lee AH. 2008:96). در همین راستا چانگ در سال ۱۹۹۶ روش فازی تحلیل سلسله‌مراتبی FAHP را ارائه کرد. با توجه به توضیحات ارائه شده در جهت ترسیم نقشه‌های پتانسیل سیل‌خیزی شهرستان تربت‌حیدریه براساس منطق فازی ابتدا لایه‌های موردنیاز بر حسب معیارهای

عملگر اشتراک فازی: این عملگر به صورت از رابطه زیر تبعیت می‌کند. در این رابطه WC و WB بیانگر مقادیر عضویت فازی فاکتورهای A و B و C در یک موقعیت خاص است. تأثیر این عملگر آن است که نقشه خروجی توسط کوچک‌ترین مقدار عضویت فازی که در هر موقعیت روی می‌دهد، کنترل می‌شود (رابطه ۲).

رابطه ۲:

$$W \text{ combination} = \text{MIN}(WA, WB, WC, \dots)$$

عملگر اجتماع فازی (Fuzzy OR): این عملگر به صورت رابطه زیر تعریف می‌شود (رابطه ۳).

رابطه ۳:

$$W \text{ combination} = \text{MAX}(WA, WB, WC, \dots)$$

عملگر ضرب فازی (Fuzzy Algabric Product): این عملگر از رابطه زیر تبعیت می‌کند (رابطه ۴).

$$W \text{ combination} = \sum_{i=1}^n Wi \quad \text{رابطه ۴:}$$

در این رابطه، n فاکتور کنترل کننده و Wi بیانگر وزن لایه i است. مقادیر عضویت فازی با این عملگر به مقداری بسیار کوچک میل می‌کنند؛ به عبارت دیگر مقدار خروجی هر موقعیت همواره کوچک‌تر یا مساوی کوچک‌ترین مقدار عضویت فازی در موقعیت‌های متناظر نقشه‌های ورودی است؛ بنابراین عملگر فوق اثر کاهشی دارد. در این روش برخلاف اشتراک و اجتماع کلیه مقدارهای عضویت نقشه‌های ورودی در نقشه خروجی تأثیر دارند.

عملگر جمع فازی (Fuzzy Algabric Sum): این عملگر به صورت این رابطه تعریف می‌شود (رابطه ۵).

رابطه ۵:

$$W \text{ combination} = 1 - (\sum_{i=1}^n (1 - Wi))$$

وزن نهایی معیارها با لایه‌های فازی شده ترکیب و ضریب همبستگی لایه‌ها با گاماهای ۰/۵، ۰/۷ و ۰/۹ محاسبه و نقشه‌های مربوط استخراج شد (جدول ۱).

انتخاب شده تعیین و در ادامه در محیط ArcGIS تبدیل به رستر و با استفاده از توابع عضویت فازی، فازی شده و سپس با کمک نرم‌افزار EXCEL فرایند مقایسه زوجی معیارها نسبت به یکدیگر انجام و سپس

جدول ۱: ضریب همبستگی همپوشانی لایه‌های تولیدشده با گاماهای ۰/۵، ۰/۷ و ۰/۹

| Regression Statistics 0.5 | | Regression Statistics 0.7 | | Regression Statistics 0.9 | |
|---------------------------|----------|---------------------------|----------|---------------------------|----------|
| Multiple R | 0.894627 | Multiple R | 0.944798 | Multiple R | 0.963834 |
| R Square | 0.800357 | R Square | 0.892643 | R Square | 0.928976 |
| Adjusted R Square | 0.785838 | Adjusted R Square | 0.884835 | Adjusted R Square | 0.92381 |
| Standard Error | 3.04E-06 | Standard Error | 0.000129 | Standard Error | 0.004725 |
| Observations | 119 | Observations | 119 | Observations | 119 |

آگاهی: نگارندگان، ۱۳۹۹

جدول (۲) است. در ادامه مقایسات زوجی معیارها و زیرمعیارها با استفاده از نظر کارشناسان انجام شد. این مقایسات زوجی که با متغیرهای زبانی توصیف شده‌اند، با اعداد فازی مثالی بیان می‌شوند که به عنوان ورودی مدل تحلیل سلسه‌مراتب فازی عمل می‌کنند. براساس این روش وزن نهایی معیارها و زیرمعیارها به شرح جدول (۳) و (۴) تعیین شد. بر این اساس معیارهای پوشش‌گیاهی با وزن ۰/۱۲۲ کمترین تأثیر و توپوگرافی با وزن ۰/۴۰۸ بیشترین تأثیر را دارد. در خصوص زیرمعیارها نیز به ترتیب شیب با وزن ۰/۷۵۱، کاربری اراضی با وزن ۰/۶۶۶، بارش با وزن ۰/۵۸۹ بیشترین تأثیر را در وقوع سیل در منطقه مورد مطالعه دارند. در ادامه وزن‌های به دست آمده از روش FAHP در نقشه‌های فازی شده معیارها و زیرمعیارها ضرب شده که نتایج آن به شرح اشکال ۸ تا ۱۵ است.

یافته‌های تحقیق و بحث

در پنهانه‌بندی خطر وقوع سیل ابتدا باید معیارهای تأثیرگذار در منطقه مورد مطالعه، شناسایی و درجه اهمیت هر کدام مورد سنجش و ارزیابی قرار گیرد؛ از این‌رو با توجه به محدودیت‌هایی که در تهیه برخی از لایه‌ها وجود داشت و همچنین به دلیل محدودیت‌هایی که به دلیل طولانی بودن فرایند مدل وجود دارد، استفاده از لایه‌های اطلاعاتی بیشتر باعث پیچیدگی بیش از حد و زمان طولانی در تحلیل و پردازش اطلاعات می‌شود؛ بنابراین با توجه به محدودیت‌های اشاره شده و تجارب گذشته هشت معیار شیب، فاصله از رودخانه، ارتفاع، زمین‌شناسی، کاربری اراضی، بارش، تراکم زهکشی و پوشش گیاهی مورد بررسی قرار گرفته‌اند. سپس لایه‌های موردنظر در محیط Arc-Gis فازی سازی شده و در مرحله بعد بر این اساس نسبت به عضویت‌دهی فازی معیارهای مورد مطالعه اقدام شد که نتایج آن به شرح

جدول ۲: نتایج عضویت‌دهی فازی معیارهای مورد مطالعه

| ردیف | موضوع | نتیجه |
|------|--|--|
| ۱ | شیب: با سیل رابطه مستقیم و به عبارتی دیگر خطی و افزاینده است. | Membership Function: Linea Max: 70 Min: 5 |
| ۲ | فاصله از رود: این لایه با سیل رابطه معکوس و از تابع زیر تعییت می‌کند. | Membership Function: Linear Midpoint: 380 Spread: 2 |
| ۳ | ارتفاع: این لایه خطی و کاهنده است. | Membership Function: Linear Max: 2933 Min: 1003 |
| ۴ | زمین‌شناسی: با سیل خیزی رابطه‌ای معکوس دارد. | Membership Function: Small Midpoint: 7 Sperid: 5 |
| ۵ | کاربری اراضی: این لایه با سیل خیزی رابطه معکوس دارد. | Membership Function: Large Midpoint: 5 Sperid: 2 |
| ۶ | بارش: با سیل رابطه خطی و افزاینده دارد که از روش درون‌یابی استخراج می‌شود. | Membership Function: Large Midpoint: 310 Sperid: 5 |
| ۷ | تراکم زهکشی: این لایه با سیل خیزی رابطه معکوس و کاهنده دارد. | Membership Function: Small Midpoint: 334 Sperid: 5 |
| ۸ | پوشش گیاهی: با سیل رابطه معکوس دارد. | Membership Function: Small Midpoint: 256 Sperid: 5 |

مأخذ: نگارندگان، ۱۳۹۹

جدول ۳: وزن دهی معیارها و زیرمعیارهای مورد مطالعه

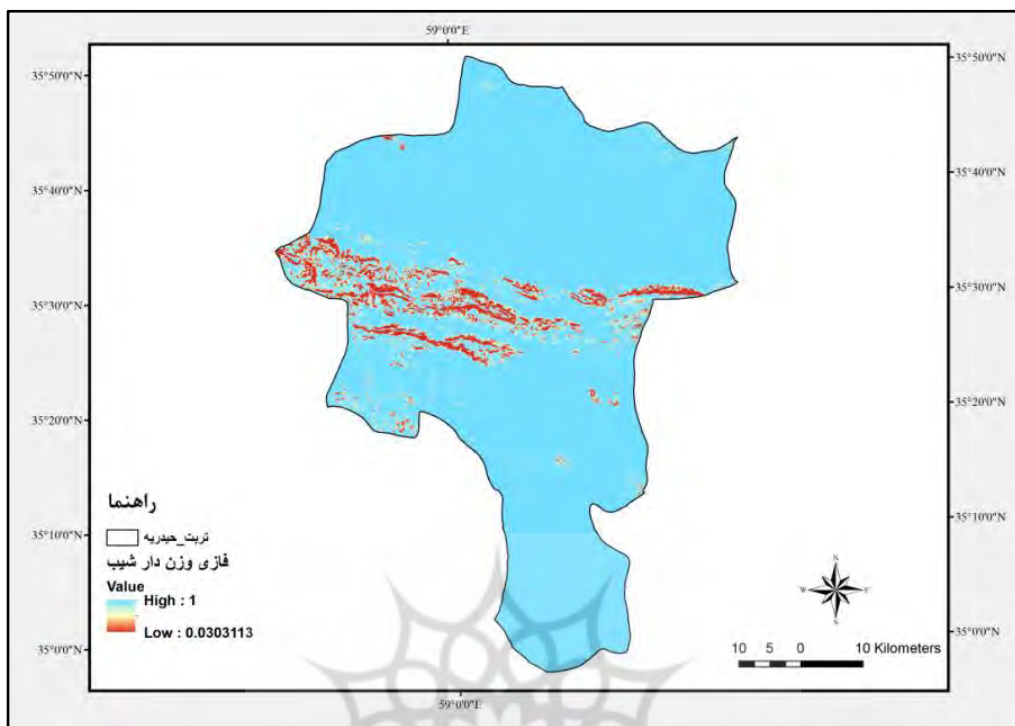
| وزن | | معیار و زیرمعیار | | وزن | | معیار و زیرمعیار | |
|-------|-----------------|------------------|------------|-------|--------------|------------------|-----------|
| ۰/۵۸۹ | بارش | ۰/۲۹۸ | هیدرواقلیم | ۰/۷۵۱ | شیب | ۰/۴۰۸ | تپوگرافی |
| ۰/۱۶۰ | فاصله از آبراهه | | | ۰/۲۵۰ | ارتفاع | | |
| ۰/۲۵۲ | تراکم زهکشی | | | ۰/۶۶۶ | کاربری اراضی | ۰/۱۲۲ | پوشش زمین |
| ۱ | زمین‌شناسی | ۰/۱۷۲ | زمین‌شناسی | ۰/۳۳۳ | پوشش گیاهی | | |

مأخذ: نگارندگان، ۱۳۹۹

جدول ۴: وزن نهایی معیارهای مورد مطالعه

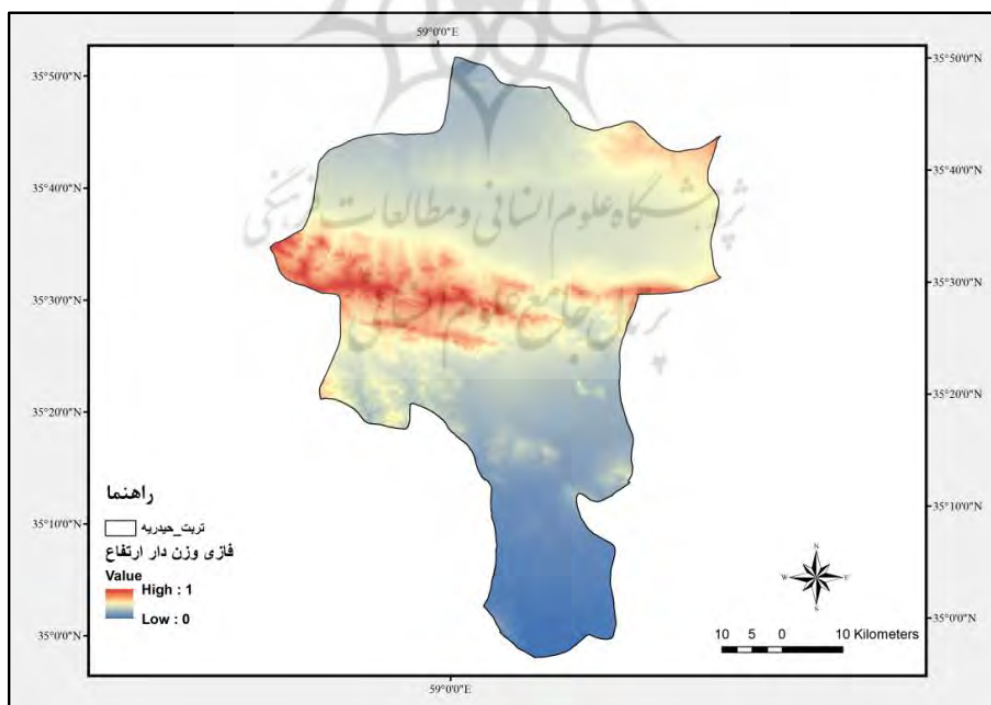
| وزن | معیار | وزن | معیار |
|-------|-----------------|-------|--------------|
| ۰/۱۷۶ | بارش | ۰/۳۶۱ | شیب |
| ۰/۰۴۷ | فاصله از آبراهه | ۰/۱۰۱ | ارتفاع |
| ۰/۰۷۵ | تراکم زهکشی | ۰/۰۸۱ | کاربری اراضی |
| ۰/۱۷۳ | زمین‌شناسی | ۰/۰۴۰ | پوشش گیاهی |

مأخذ: نگارندگان، ۱۳۹۹



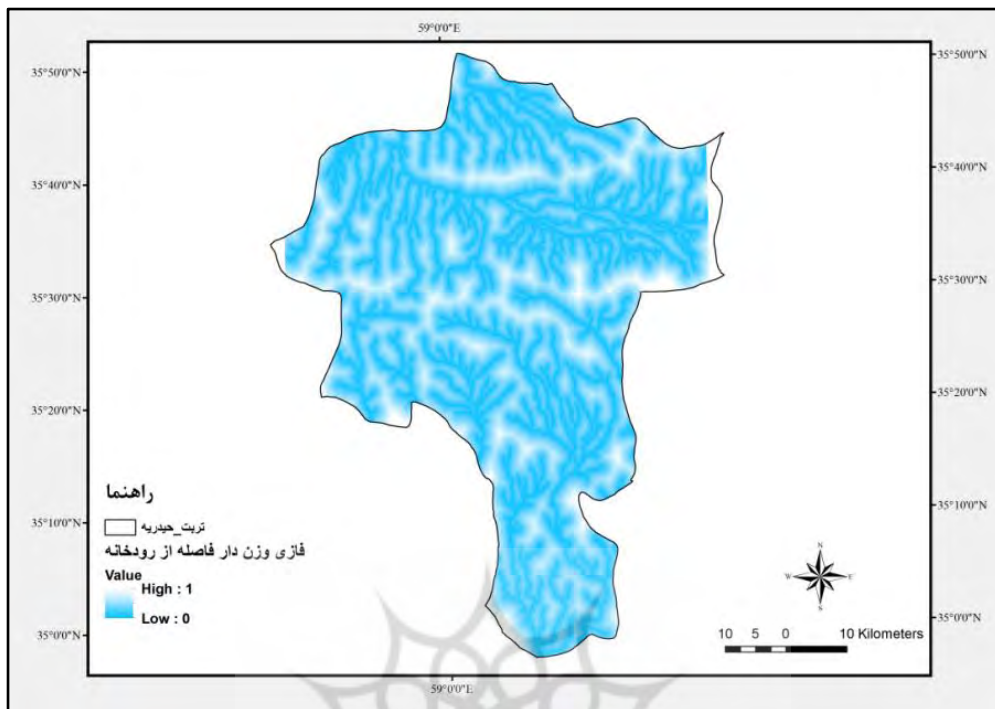
شکل ۸: نقشهٔ فازی وزن دار شبیه شهرستان تربت حیدریه

تهیه و ترسیم: نگارندگان، ۱۳۹۹



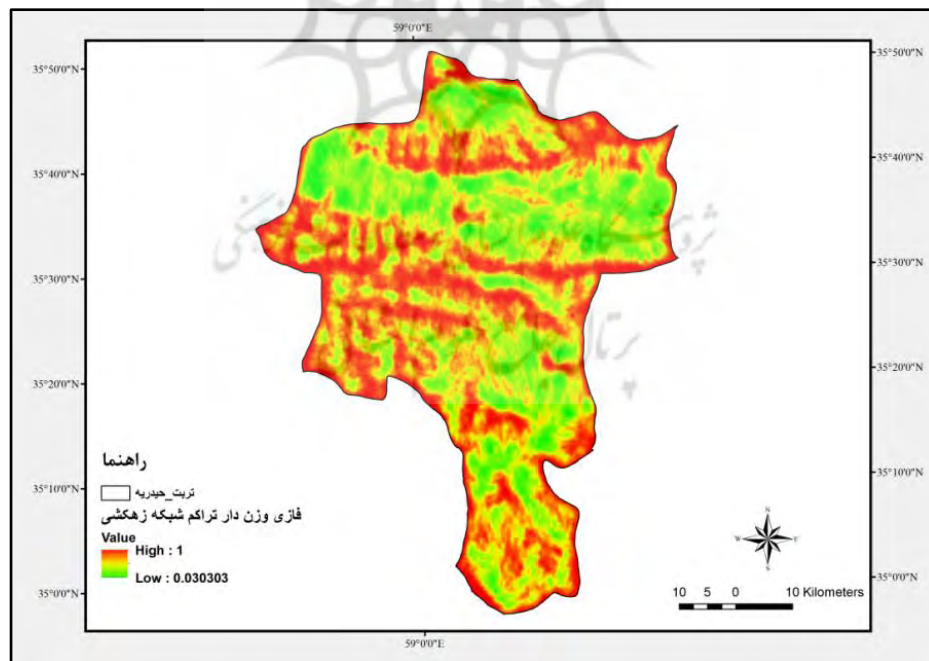
شکل ۹: نقشهٔ فازی وزن دار ارتفاع شهرستان تربت حیدریه

تهیه و ترسیم: نگارندگان، ۱۳۹۹



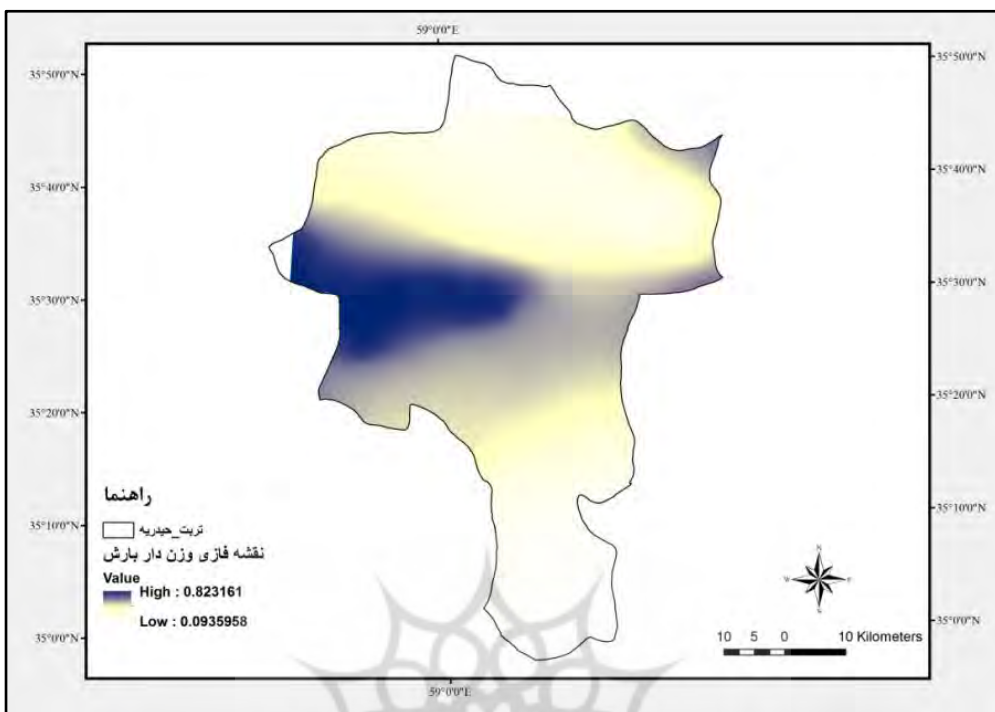
شکل ۱۰: نقشهٔ فازی وزن دار فاصله از رودخانه شهرستان تربت حیدریه

تهریه و ترسیم: نگارندگان، ۱۳۹۹



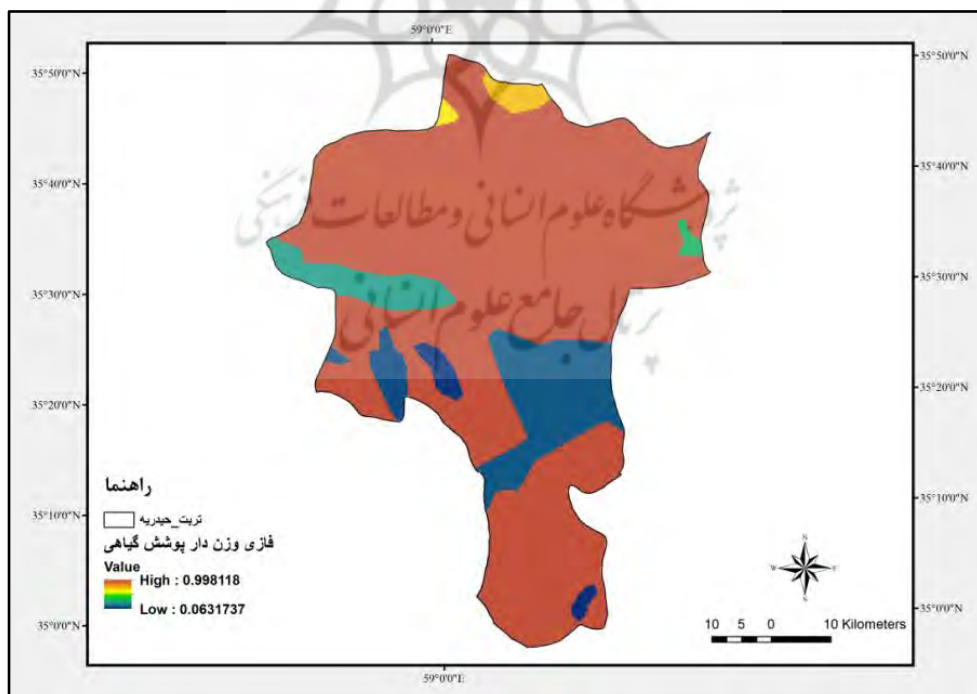
شکل ۱۱: نقشهٔ فازی وزن دار تراکم زهکشی شهرستان تربت حیدریه

تهریه و ترسیم: نگارندگان، ۱۳۹۹



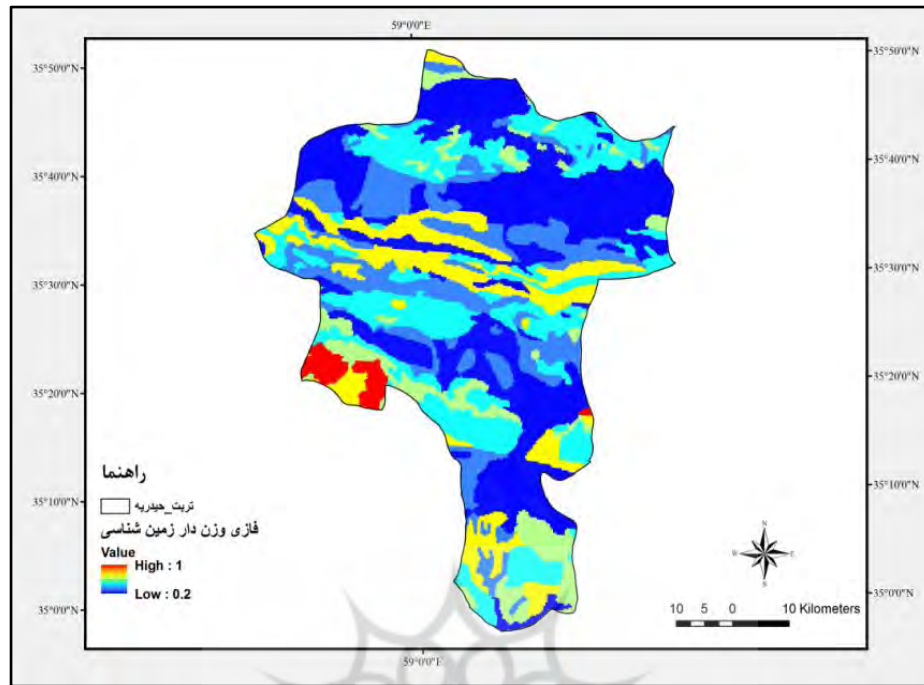
شکل ۱۲: نقشه فازی وزن دار بارش شهرستان تربت حیدریه

تهییه و ترسیم: نگارندگان، ۱۳۹۹



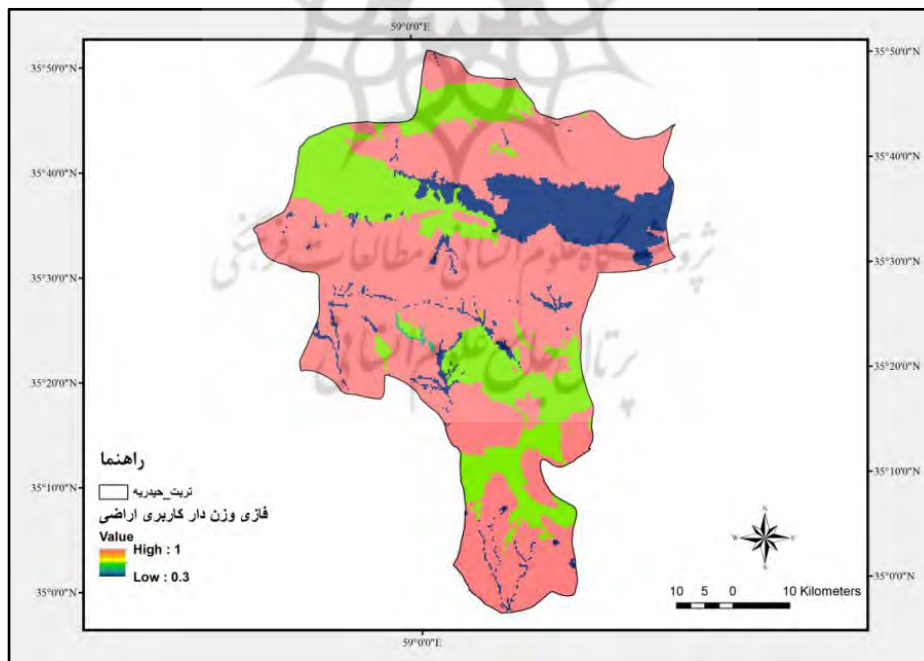
شکل ۱۳: نقشه فازی وزن دار پوشش گیاهی شهرستان تربت حیدریه

تهییه و ترسیم: نگارندگان، ۱۳۹۹



شکل ۱۴: نقشه فازی وزن دار زمین‌شناسی شهرستان تربت‌حیدریه

تهیه و ترسیم: نگارندگان، ۱۳۹۹

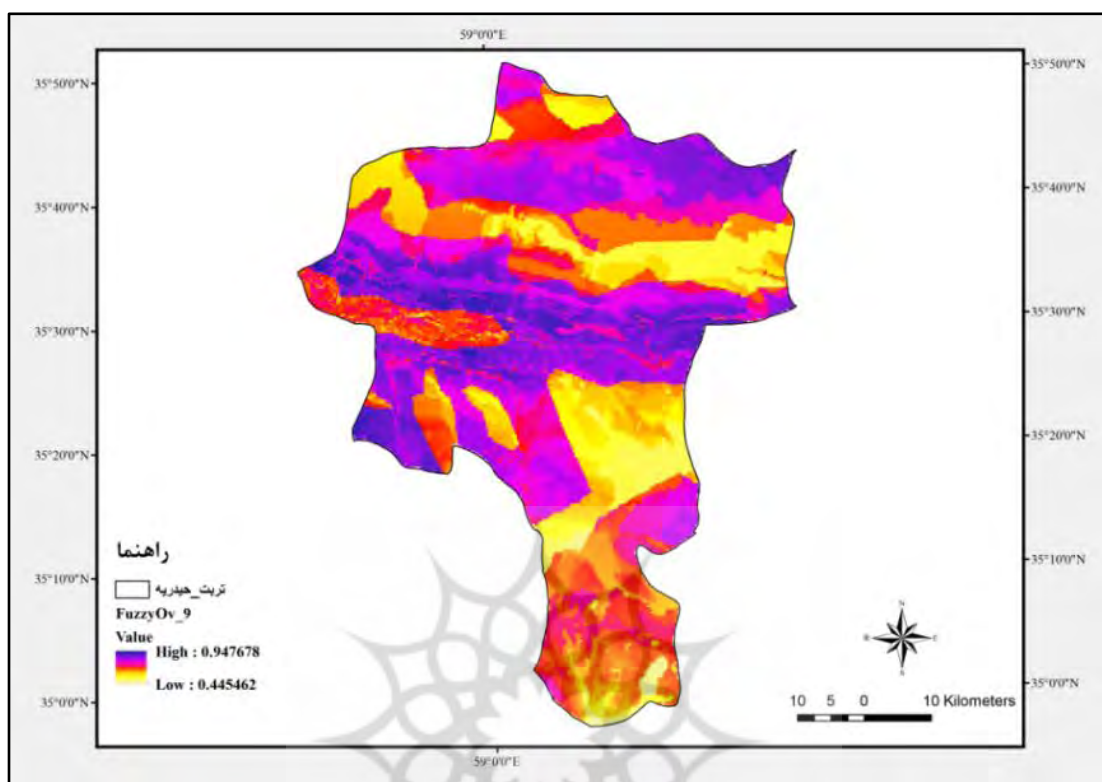


شکل ۱۵: نقشه فازی وزن دار کاربری اراضی شهرستان تربت‌حیدریه

تهیه و ترسیم: نگارندگان، ۱۳۹۹

ترسیم پتانسیل سیل خیزی در شهرستان تربت‌حیدریه استفاده شده است (شکل ۱۶).

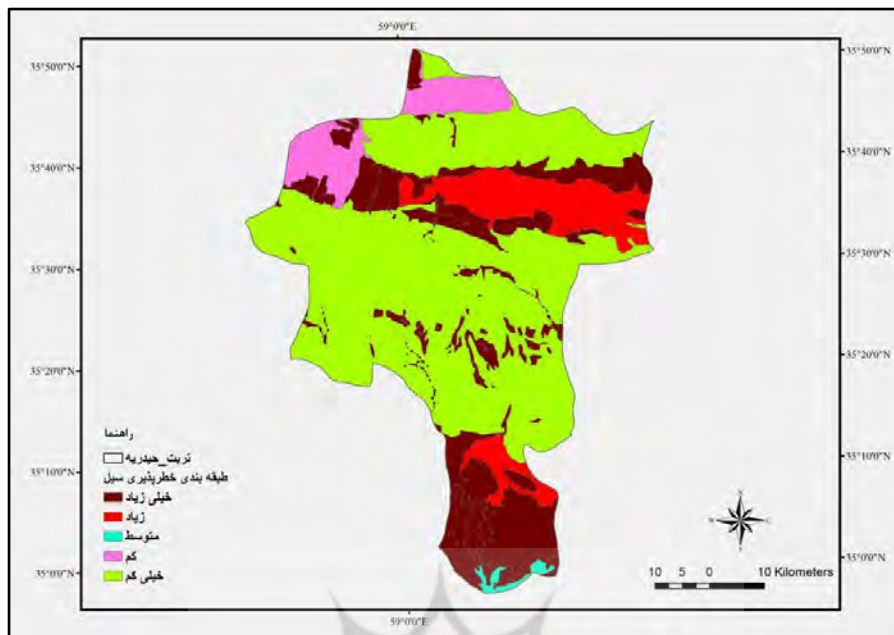
پس از ترکیب لایه‌های فازی ضریب همبستگی آن‌ها با گاماهای ۰/۵، ۰/۷ و ۰/۹ محاسبه شده (جدول ۱) و بهدلیل همبستگی بالای گامای ۰/۹ (بیش از ۹۶ درصد) از آن برای



شکل ۱۶: نقشهٔ پتانسیل سیل خیزی در شهرستان تربت‌حیدریه براساس منطق فازی و عملگر گامای ۰/۹
تهیه و ترسیم: نگارندگان، ۱۳۹۹

نواحی با خطر خیلی کم با ۳۶/۷ درصد از کل مساحت بیشترین و نواحی با خطر متوسط با ۵/۱۱ درصد کمترین مساحت منطقه را به خود اختصاص داده‌اند. البته نواحی با خطر خیلی زیاد با ۳۰/۴۹ درصد و مناطق با خطر کم و زیاد نیز به ترتیب با ۱۲/۹ و ۱۴/۸ درصد هستند (جدول ۴ و شکل ۴).

نقشهٔ کلاسه‌بندی خطر سیل خیزی براساس روش شکستگی‌های طبیعی در ۵ سطح طبقه‌بندی شده‌است (شکل ۱۷). بر این اساس مناطق با خطر بسیار زیاد در بخش شمالی و جنوبی است که عمده‌تر کوهستانی و دارای شیب زیاد است. نواحی با خطر کم نیز اغلب در دشت‌های است. در این نقشه محدوده‌های با خطر بسیار زیاد با رنگ قهوه‌ای نشان داده شده‌است. بر این اساس



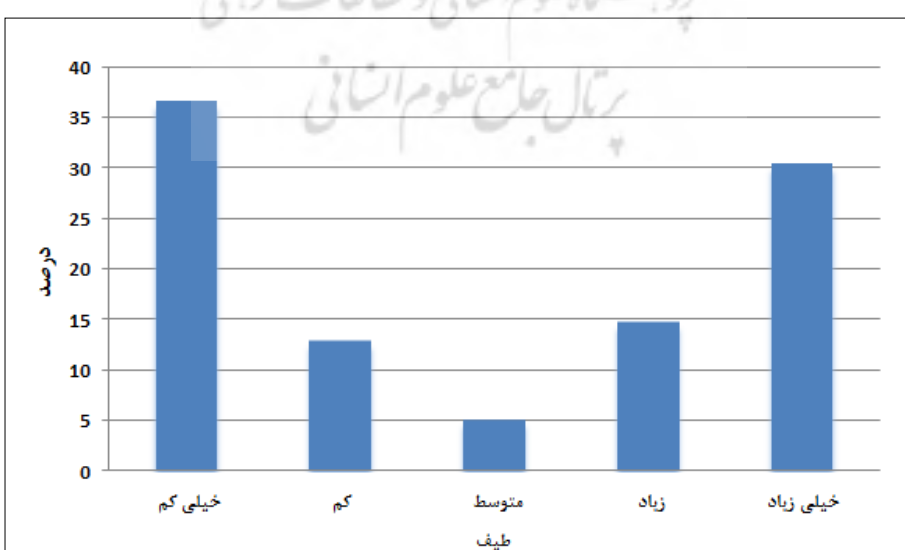
شکل ۱۷: نقشه کلاس‌بندی خطر سیل خیزی در شهرستان تربت‌حیدریه

تهیه و ترسیم: نگارندگان، ۱۳۹۹

جدول ۴: مساحت کلاس‌های نقشه پهنه‌بندی پتانسیل سیل خیزی به درصد

| ردیف | طیف | پهنه‌بندی سیل خیزی شهرستان به درصد |
|------|-----------|------------------------------------|
| ۱ | خیلی کم | ۳۶/۷ |
| ۲ | کم | ۱۲/۹ |
| ۳ | متوسط | ۵/۱۱ |
| ۴ | زیاد | ۱۴/۸ |
| ۵ | خیلی زیاد | ۳۰/۴۹ |

مأخذ: نگارندگان، ۱۳۹۹



شکل ۱۸: نمودار درصد مساحت پتانسیل سیل خیزی در شهرستان تربت‌حیدریه

تهیه و ترسیم: نگارندگان، ۱۳۹۹

براساس نتایج حاصل از تلفیق لایه‌ها به روش همپوشانی فازی و وزن‌نهایی حاصل از مدل AHP، نقشه کلاسه‌بندی خطر سیل خیزی در منطقه مورد مطالعه استخراج (شکل ۱۷ و ۱۸) و مشخص شد که مناطق با خطر خیلی زیاد (۳۰/۴۹ درصد) شامل برخی از نواحی مرکزی، شمالی و جنوب، مناطق با خطر زیاد (۱۴/۸ درصد) در مناطق شمالی و جنوب‌شرق، مناطق با خطر متوسط (۵/۱۱ درصد) در نواحی منتهی‌الیه جنوبی، مناطق با خطر کم (۱۲/۹ درصد) در مناطق شمال‌غرب و مناطق با خطر پذیری خیلی کم در نواحی مرکزی، غرب، شمال و شمال‌شرق شهرستان پراکندگی دارد؛ از این‌رو پیشنهاد می‌شود نسبت‌به بهسازی، طراحی و اجرای طرح‌های آبخیزداری و آبخوان‌داری در منطقه توجه لازم انجام شود. همچنین برنامه‌ریزان و تصمیم‌گیرندگان باید در زمینه کاهش خطر پذیری نسبت‌به جانمایی مناسب زیرساخت‌ها و تأسیسات شهرستان اقدام لازم را به عمل آورند. لازم به ذکر است، نتایج این پژوهش از بعد معیارهای مورد مطالعه در راستای مطالعات قنواتی ۱۳۹۲، نسرين‌ژداد، ۱۳۹۳، اصغری ۱۳۹۴، موسوی ۱۳۹۵، میرزاعلی ۱۳۹۷، محمودزاده ۱۳۹۷ و خلیلی ۱۳۹۹ است و نشان‌دهنده این مهم است که معیارهای شبیب و بارش بیشترین تأثیر را در سیل خیزی منطقه دارد.

شهر تربت‌حیدریه: این شهر مرکز شهرستان است و از نظر موقعیت جغرافیایی در شرق شهرستان قرار دارد. براساس نقشه پتانسیل سیل‌خیزی، این شهر از لحاظ خطر وقوع سیل در محدوده خطر خیلی کم البته برخی از نقاط آن در محدوده خطر خیلی زیاد است که باید مطالعات لازم در خصوص سیل‌های شهری انجام پذیرد. سکونتگاه‌های روستایی: با توجه به نقشه (۲) و پراکنش فضایی روستاهای شهرستان اکثر سکونتگاه‌های روستایی در محدوده خیلی کم قرار گرفته‌اند. البته در مناطق شمالی و بهخصوص شمال‌شرق شهرستان برخی از مناطق روستایی در محدوده خطر زیاد و خیلی زیاد قرار دارند که نیازمند برنامه‌ریزی دقیق در این خصوص است.

نتیجه

تحقیقات گوناگونی درخصوص تعیین عوامل مؤثر در پهنه‌بندی خطر سیل با استفاده از روش‌های فازی، AHP، HEC-RAS و GIS صورت گرفته‌است؛ در همین راستا تحقیق حاضر با استفاده از تلفیق مدل‌های فازی و AHP به تعیین درجه اهمیت و میزان تأثیرگذاری هشت عامل مهم پرداخته است. استفاده از مدل مذکور با استفاده از مقادیر فازی این امکان را میسر ساخت تا شرایط لازم به منظور کاهش میزان عدم‌قطعیت و افزایش میزان اطمینان در تعیین دقیق‌تر درجه تأثیرگذاری و اولویت هر یک از این هشت عامل مهیا شود. نتایج به دست آمده نشان می‌دهد که مدل فازی با وجود پیچیدگی‌هایی که دارد، دارای مزایای بسیاری در مطالعه مدل‌دههای مختلف مرتبط با سطح زمین است. از جمله می‌توان به صحت و دقت بالای نتایج حاصل از استفاده از آن اشاره کرد. از دیگر ویژگی‌های این مدل، قابلیت آن در تبدیل عبارت‌های زبانی برگرفته از تجربه و دانش بشری در قالب ریاضی است و از این مدل می‌توان برای مدل‌سازی در زمان نبود قطعیت و صراحة در مسائل دنیای واقعی نظری در دسترس نبودن داده‌ها و اطلاعات دقیق موردنیاز استفاده کرد. در روش AHP برخلاف روش فازی نظرات کارشناسان در نقشه نهایی بسیار مؤثر بوده است؛ در حالی که در روش فازی تأثیر نظرات کارشناسان به حداقل می‌رسد و در واقع نتیجه نهایی حاصل برآوردهای پیچیده ریاضی و آماری است؛ بنابراین در تحقیق حاضر از تلفیق دو مدل استفاده شده است تا از مزایای هر دو مدل بهره گرفته شود. با توجه به نتایج و نظر کارشناسان خبره در منطقه مورد مطالعه، سیل همیشه در پس بارندگی‌های شدید در این شهرستان اتفاق می‌افتد؛ بنابراین پارامترهای شبیب با وزنی معادل ۰/۳۰ و بارندگی با وزنی معادل ۰/۱۷۵ بیشترین وزن را به خود اختصاص داده و به عنوان اول در پهنه‌بندی خطر سیل مطرح شد. پارامترهای پوشش گیاهی، فاصله از رودخانه، کاربری اراضی و ارتفاع اولویت‌های بعدی را به خود اختصاص داده‌اند. همچنین

- خلیلی، علی؛ آریان اسروش (۱۳۹۹). ارزیابی آسیب‌پذیری ناشی از سیلاب در منطقه مکران با استفاده از نرم‌افزار ArcGIS، فصلنامه جغرافیایی سرزمین. سال هفدهم. شماره ۶۶. صفحات ۱-۱۱.
https://journals.srbiau.ac.ir/article_16614.html
- رستمی، فرهاد (۱۳۸۷). اصلاح مدل برآورد رسوب ام پسیاک با به کارگیری تکنیک فازی در حوضه سد زاگرس، پایان‌نامه کارشناسی ارشد. دانشکده ادبیات. رشتۀ جغرافیا. دانشگاه تربیت معلم. صفحه ۴۲.
- سازمان هوواشناسی استان خراسان رضوی، ۱۳۹۹.
- سلامی، محمد (۱۳۸۹). تحلیل پارامترهای کیفی آب‌تالاب انزلی با استفاده از روش ریاضی فازی، پایان‌نامه کارشناسی ارشد. دانشکده علوم. دانشگاه تربیت معلم. صفحه ۲۰.
- عطائی، محمد (۱۳۸۹). تصمیم‌گیری چند معیاره فازی، انتشارات دانشگاه صنعتی شاهروд. چاپ اول. ۲۴۴ صفحه.
- علیزاده، امین (۱۳۸۷). اصول هیدرولوژی کاربردی، چاپ ۲۴. انتشارات دانشگاه امام رضا (ع). صفحه ۸۷.
- غیور، حسنعلی (۱۳۷۵). سیل و مناطق سیل‌خیز در ایران، فصلنامه تحقیقات جغرافیایی. شماره ۴. صفحه ۱۸.
http://uijs.ui.ac.ir/jgr/?&slct_pg_id=107&sid=1&slc_lang=fa
- قدسی‌پور، حسین (۱۳۸۴). فرایند تحلیل سلسله‌مراتبی AHP، دانشگاه صنعتی امیرکبیر. مرکز نشر ۲۲۴ صفحه.
- قنواتی، عزت‌الله (۱۳۹۱). ارزیابی و پهنه‌بندی خطر رخداد سیل در حوضه فرحرزاد (تهران) با استفاده از مدل فازی، مجله جغرافیا و برنامه‌ریزی محیطی. سال ۲۳. شماره ۴. صفحات ۱۲۱-۱۳۸.
https://journals.ui.ac.ir/article_18570.html

منابع

- اسفندیاری‌دارآباد، فریبا (۱۳۹۸). پهنه‌بندی سیلاب حوضه آبخیز آجرلوچای با استفاده از روش L-THIA و منطق فازی، پژوهش‌های ژئومورفولوژی کمی، سال ۸. صفحه ۱۵۵.
<https://www.sid.ir/fa/JOURNAL/ViewPaper.aspx?ID=528494>
- اصغری مقدم، محمدرضا (۱۳۷۸). جغرافیای طبیعی شهر (هیدرولوژی و سیل‌خیزی شهر)، چاپ اول. انتشارات مسعي. صفحه ۴۵.
- اصغری، صیاد؛ الناز پیروزی؛ یتول زینالی (۱۳۹۴). پهنه‌بندی خطرسیلاب در حوضه آبخیز آقلاقان‌چای با استفاده از مدل ویکور، مجله پژوهش‌های ژئومورفولوژی کمی. سال ۴. شماره ۳. صفحات ۲۴۵-۲۳۱.
- <http://www.geomorphologyjournal.ir/article78014.html>
- افتخاری، عبدالرضا؛ محمودی قدیری؛ اکبر پرهیز کار؛ سیاوش‌شایان (۱۳۸۸). تحلیلی بر دیدگاه‌های نظری آسیب‌پذیری جامعه نسبت به مخاطرات طبیعی، فصلنامه مدرس علوم انسانی. دوره ۱۳. شماره ۱. صفحات ۳۱-۳۰.
- <https://hmsp.modares.ac.ir/article-21-9702-fa.html>
- امامی کیا (۱۳۹۴). ریز پهنه‌بندی خطر سیلاب در محدوده شهر تبریز با استفاده از روش AHP، تحقیقات جغرافیایی. سال ۳۰. شماره ۱. پیاپی ۱۱۶. صفحات ۱۸۰-۱۶۷.
- <https://www.sid.ir/fa/journal/ViewPaper.aspx?id=317463>
- ثروتی، محمدرضا؛ جمشید جباری عیوضی؛ کیا بزرگ‌مهر (۱۳۸۵). محاسبه و تحلیل دبی متوسط سیل با استفاده از روش تحلیل منطقه‌ای سیلاب در محدوده خیررود نوشهر تا سردآبرود چالوس، جغرافیایی سرزمین. دوره ۳. شماره ۲. پیاپی ۱۰. صفحات ۷۹-۶۳.
- https://sarzamin.srbiau.ac.ir/article_5951.html

-وفاوه، مهدی (۱۳۹۵). تهیه نقشه خطرپذیری سیلاب در حوزه آبخیز شهری نور با استفاده از تحلیل سلسه-مراتبی و منطق فازی، پژوهشنامه مدیریت حوزه آبخیز. دوره ۷. شماره ۱۴. صفحات ۱۱-۱۹.

<https://www.sid.ir/fa/journal/ViewPaper.aspx?id=305232>

-یمانی، مجتبی (۱۳۸۴). ارتباط ویژگی‌های ژئومورفولوژیک حوضه‌ها و قابلیت سیل خیزی (تجزیه و تحلیل داده‌های سیل از طریق مقایسه ژئومورفولوژیک حوضه‌های فشند و بهشت آباد)، مجله پژوهش‌های جغرافیایی، شماره ۵۴. صفحه ۴۹-۵۴.

<https://www.sid.ir/fa/journal/ViewPaper.aspx?id=37732>

References:

- Adam Podlaha, Michal Lorinc, Gaurav Srivastava, Steve Bowen, Brian Kerschner (2020), Global Catastrophe Recap: First Half of July 2020. P.110.
<https://www.slipcase.com/view/global-catastrophe-recap-december-2020>
- Chang CT. (2008). Revised multi-choice goal programming. Applied mathematical modelling, 32(12). PP.2587-2595.
<http://dx.doi.org/10.1016/j.apm.2007.09.008>
- Fernandez, D.S. M.A. Lutz. (2010), Urban flood hazard zoning in Tucumán Province Argentina, using GIS and multicriteria decision analysis, Engineering Geology No.111,PP.90-98.
<http://dx.doi.org/10.1016/j.enggeo.2009.12.006>
- Laarhoven VP, Pedrycz W (1983). A fuzzy extension of Saaty's priority theory. Fuzzy sets and Systems, 11(1): PP. 199-227.
[https://doi.org/10.1016/S0165-0114\(83\)80082-7](https://doi.org/10.1016/S0165-0114(83)80082-7)
- Lee AH, Chen WC, Chang CJ. (2008). A fuzzy AHP and BSC approach for evaluating performance of IT department in the manufacturing industry in Taiwan. Expert systems with applications, 34(1). PP. 96-107.
<https://doi.org/10.1016/j.eswa.2006.08.022>

-لطفى، حیدر؛ مهتاب جعفری (۱۳۹۰). فرایند ایمن‌سازی شهری درجهت مقابله با مخاطرات طبیعی (سیل) مطالعه موردی: شهر تهران، فصلنامه علمی پژوهشی فضای جغرافیایی.

سال ۱۱. شماره ۳۶. صفحات ۲۹۶-۲۸۳.

<https://www.sid.ir/fa/journal/ViewPaper.aspx?ID=149464>

- محمودزاده، حسن؛ مانده با کویی (۱۳۹۷). پنهان‌بندی سیلاب با استفاده از تحلیل فازی مطالعه موردی: ساری، مجلة مخاطرات محیط طبیعی. دوره ۷. شماره ۱۸. صفحات ۶۸-۵۱.

https://www.doi.org/10.22111/jneh.2018.1988_5.1238

-مهدى‌زاده، جواد (۱۳۹۱). تحلیل مخاطرات اقلیمی در شهر تبریز با استفاده از منطق فازی و مدل ANP. کارشناسی ارشد رشته جغرافیا. دانشگاه محقق اردبیل. اردبیل. صفحه ۹۷-۹۱. موسوی، سیده معصومه؛ سعید نگهبان؛ حیدر رخشانی مقدم؛ سیدمحسن حسین‌زاده (۱۳۹۵). ارزیابی و پنهان‌بندی خطر سیل خیزی با استفاده از منطق فازی TOPSIS در محیط GIS مطالعه موردی: حوضه آبخیز شهر باغملک، مجله مخاطرات محیط طبیعی. سال ۵. شماره ۱۰. صفحات ۹۸-۷۹.

<https://www.sid.ir/fa/journal/ViewPaper.aspx?ID=279528>

-مؤمنی، منصور (۱۳۷۸). مباحث نوین تحقیق در عملیات، چاپ دوم، انتشارات دانشگاه تهران. صفحه ۱۸۷. نسرین نژاد، نعمت‌الله؛ کاظم رنگز؛ نصرالله کلانتری؛ عظیم صابری (۱۳۹۳). پنهان‌بندی پتانسیل سیل خیزی حوزه آبریز باغان با استفاده از روش تحلیل سلسه‌مراتبی فازی (FAHP)، مجله سنجش از دور و سامانه اطلاعات جغرافیایی

در منابع طبیعی. سال ۵. شماره ۴. صفحات ۳۴-۱۵.

<https://www.sid.ir/fa/journal/ViewPaper.aspx?id=243763>

- Yahaya, S. (2008). Multicriteria Analysis for Flood Vulnerable Areas in Hadejia-jama are River Basin, Nigeria. Annual Conference Portland, Oregon. ASPRS 2008 Annual Conference Portland, Oregon. April 28-May 2, 2008. P. 87.
<http://www.asprs.org/a/publications/proceedings/portland08/0088.pdf>
- Yen an Wu, Ping-an Zhong, Yu Zhang, Biao Ma, Kun Yan,(2015), Integrated flood risk assessment and zonation method: a case study in Huaihe River basin, China, Natural Hazards, Issue 1, PP.635-651.
<https://doi.org/10.1007/s11069-015-1737-3>
- Zening Wu, Yanxia Shen and Huiliang Wang (2019). Assessing Urban Areas' Vulnerability to Flood Disaster Based on Text Data: A Case Study in Zhengzhou City, College of Water Conservancy and Environment, Zhengzhou University, Zhengzhou 450001, and China. Correspondence: Received: 23 July 2019; Accepted: 8 August 2019; Published: 21 August 2019. P. 168.
www.mdpi.com/pdfvor
- OECD (2016), Financial management of flood risk, Paris: OECD Publishing. Pp 76.
<http://dx.doi.org/10.1787/9789264257689-en>
- Osman Sonmez,Hussein Bizimana(2018), Flood hazard risk evaluation using fuzzy logic and weightage based combination method in Geographic Information System (GIS), September 2018. Scientia Iranica.
[DOI:10.24200/SCI.2018.21037.PP.45-55.](DOI:10.24200/SCI.2018.21037.PP.45-55)
- Pratik Dash,Jishnu Sar (2020).Identification and validation of potential flood hazard area using GIS-based multi-criteria analysis and satellite data-derived water index, Journal of Flood Risk Management published by Chartered Institution of Water &Environmental Management and John Wiley & Sons Ltd. PP.123-145.
<https://doi.org/10.1111/jfr3.12620>
- Saaty TL (1994). How to make a decision: the analytic hierarchy process. Interfaces, 24(6). PP.19-43.
<https://www.jstor.org/stable/25061950>
- Sufia Rehman, Mehebub Sahana, Haoyuan Hong, Haroon Sajjad & Baharin Bin Ahmed (2019). A systematic review on approaches and methods used for flood vulnerability assessment: framework for future research, Natural Hazards Vol96, PP.975-998.
<https://doi.org/10.1007/s11069-018-03567-z>
- UNISDR CRED (2015). The human cost of weather-related disasters 1995-2015. P119.
http://www.unisdr.org/2015/docs/climatechange/COP21_WeatherDisastersReport_2015_FINAL.pdf
- Valentina Nikolova,PlamenaVentseslavova Zlateva (2017). Assessment of Flood Vulnerability Using Fuzzy Logic and Geographical Information Systems, Conference: International Conference on Information Technology in Disaster Risk Reduction. November 2017.
https://doi.org/10.1007/978-3-319-68486-4_P_20.



پژوهشگاه علوم انسانی و مطالعات فرهنگی
پرستال جامع علوم انسانی